



# Projet Go Zone

UV 5.7 - ARCHITECTURE ROBOTIQUE

SOUTENANCE



# Contexte

---

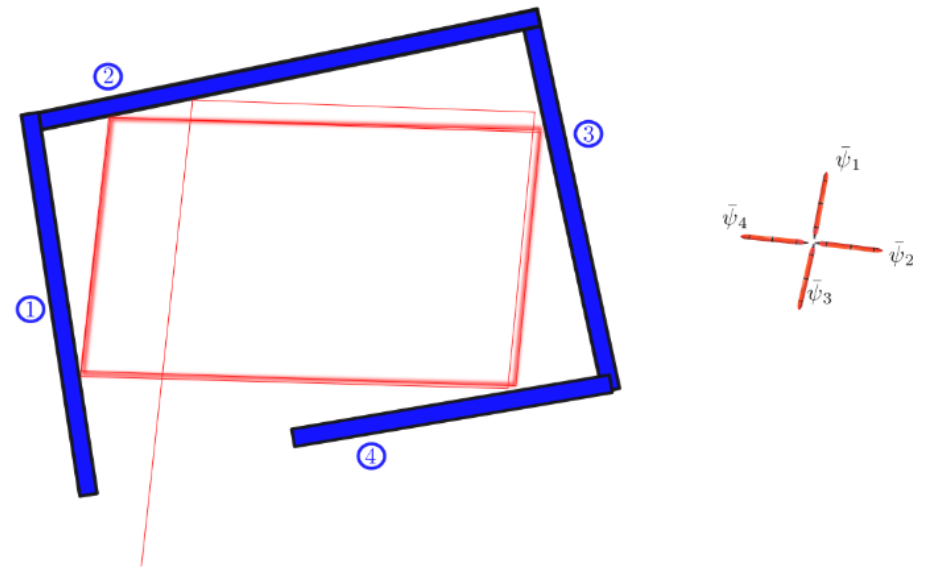
- Travail de groupe dans le cadre de l'UV 5.7 Architecture Robotique
- 11 séances - 56 heures
- Projet:
  - Nouvelle méthode de navigation sur zone pour AUV

Cycle stable :

Consignes = Liste de caps

Transitions = Valeur d'un isobathe

- Preuve de concept pour la recherche de la Cordelière
- AUV à disposition: Riptide et Folaga



# Sommaire

---

## I. Identification des tâches à réaliser

## II. Travail réalisé

1. Utilisation des AUV
2. Modélisation des AUV
3. Gestion des cycles stables
4. Simulation

## III. Expérimentation

1. Préparation de la mission
2. Exécution de la mission
3. Résultats

# I. Identification des tâches à réaliser

---

1. Tâches à réaliser
2. Interdépendances des tâches
3. Attribution des tâches
4. Agencement dans cette présentation

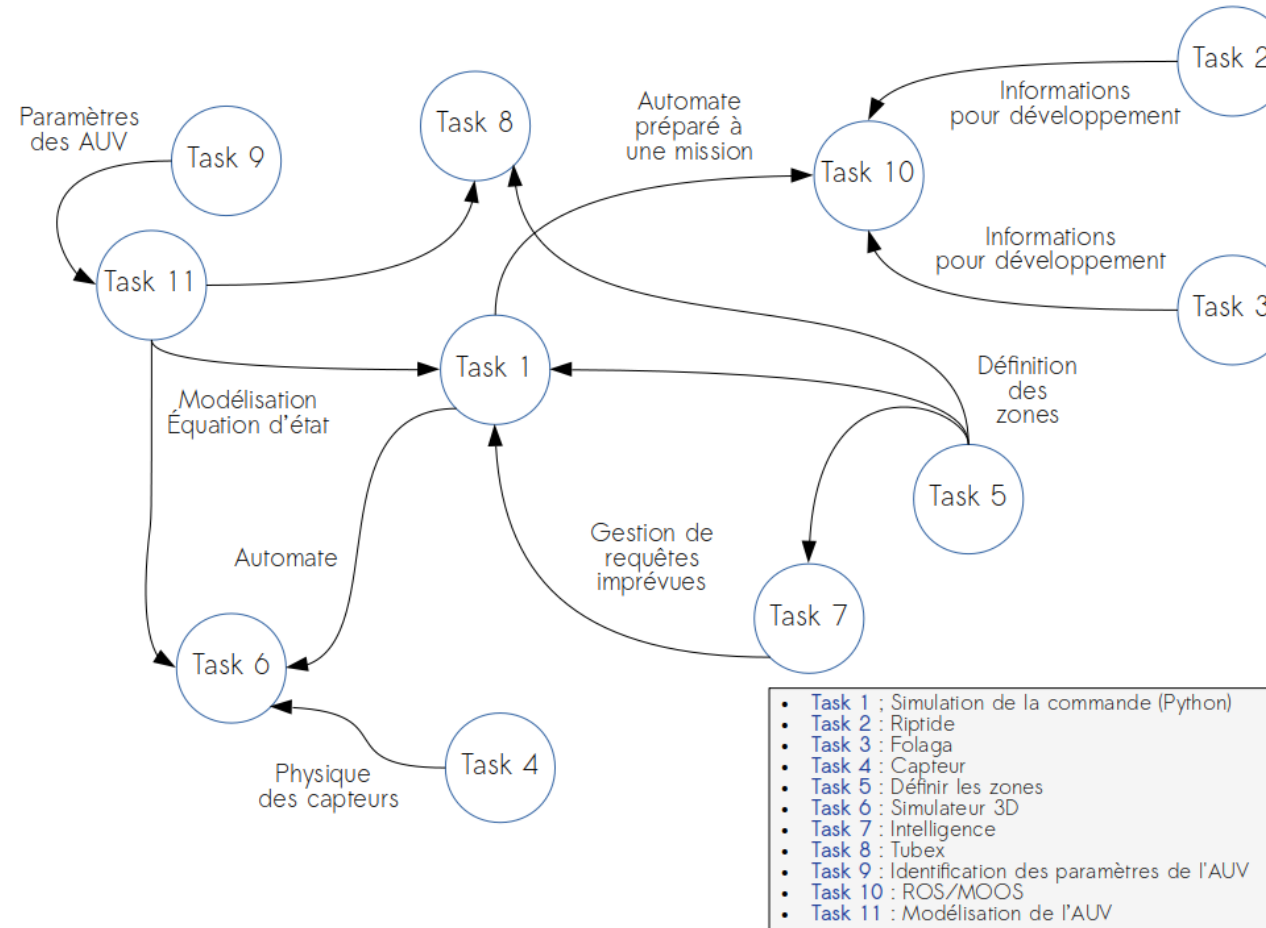
# I. Identification des tâches à réaliser

## 1. Tâches à réaliser

Tâche	Description
1	Simulation de la commande
2	Utilisation des Riptide
3	Utilisation du Folaga
4	Gestion des capteurs
5	Définition des cycles stables
6	Simulateur 3D
7	Intelligence de navigation entre cycles stables
8	Tubex
9	Identification des paramètres des AUV
10	ROS / MOOS
11	Modélisation des AUV
12	Préparation de l'expérimentation
Architecte	Gestion du groupe

# I. Identification des tâches à réaliser

## 2. Interdépendances des tâches



# I. Identification des tâches à réaliser

## 3. Attributions des tâches

Tâche	Description	Membres
1	Simulation de la commande	Matthieu Bouveron, Clément Bichat
2	Utilisation des Riptide	Philibert Adam, Nathan Fourniol, Alexandre Courjaud
3	Utilisation du Folaga	Corentin Jegat, Yann Musellec
4	Gestion des capteurs	Philibert Adam, Matthieu Bouveron, Driss Tayebi
5	Définition des cycles stables	David Brellmann, Aurélien Lebrun, Alexandre Argento
6	Simulateur 3D	Cyril Cotsaftis, Quentin Cardinal
7	Intelligence de navigation entre cycles stables	Anouar Mahla, Axel Porlan
8	Tubex	Aurélien Grenier, Driss Tayebi
9	Identification des paramètres des AUV	Erwann Landais, Yann Musellec
10	ROS / MOOS	Nathan Fourniol, Corentin Jegat, Alexandre Courjaud, Philibert Adam
11	Modélisation des AUV	Quentin Cardinal, Cyril Cotsaftis, Erwann Landais
12	Préparation de l'expérimentation	Kévin Bedin
Architecte	Gestion du groupe	Kévin Bedin

# I. Identification des tâches à réaliser

## 4. Agencement dans cette présentation

---

Tâche	Description
1	Simulation de la commande
2	Utilisation des Riptide
3	Utilisation du Folaga
4	Gestion des capteurs
5	Définition des cycles stables
6	Simulateur 3D
7	Intelligence de navigation entre cycles stables
8	Tubex
9	Identification des paramètres des AUV
10	ROS / MOOS
11	Modélisation de l'AUV
12	Préparation de l'expérimentation

Tâche	Partie
2, 4 & 10 (Riptide)	<b>II.1.a</b> Utilisation du Riptide
3, 4 & 10 (Folaga)	<b>II.1.b</b> Utilisation du Folaga
11	<b>II.2.a</b> Modèles des AUV
9	<b>II.2.b</b> Identification des paramètres des AUV
5	<b>II.3.a</b> Définition des cycles stables
7	<b>II.3.b</b> Intelligence de navigation entre cycles stables
8	<b>II.3.c</b> Tubex
1	<b>II.4.a</b> Simulation de la commande
6	<b>II.4.b</b> Simulateur 3D
12	<b>III.</b> Expérimentation

# II. Travail réalisé

---

## 1. Utilisation des AUV

1. Riptide

2. Folaga

## 2. Modélisation des AUV

1. Modèles des AUV

2. Identification des paramètres

## 3. Gestion des cycles stables

1. Trouver des cycles stables

2. Intelligence de parcours entre cycles stables

3. Stabilité des cycles par Tubex

## 4. Simulation

1. Simulation de la commande

2. Simulateur 3D

# Riptide MKII $\mu$ UUV

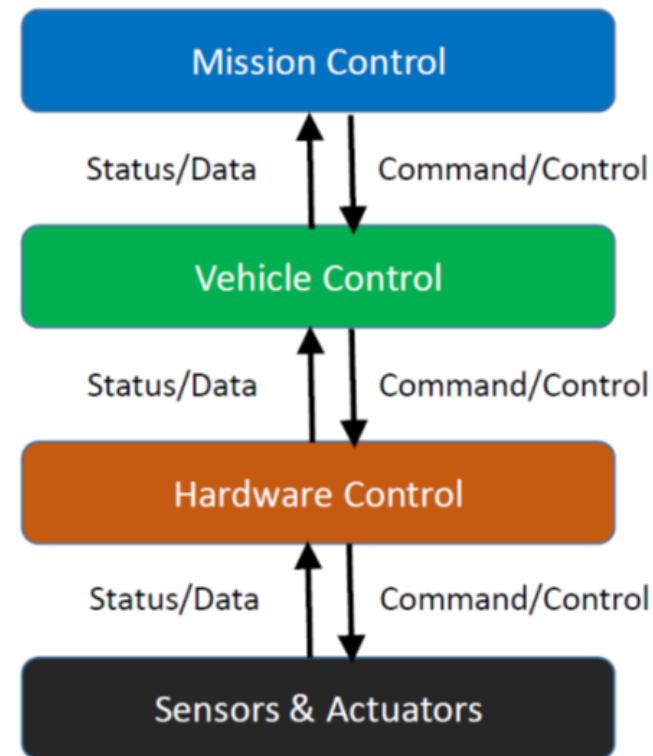
---



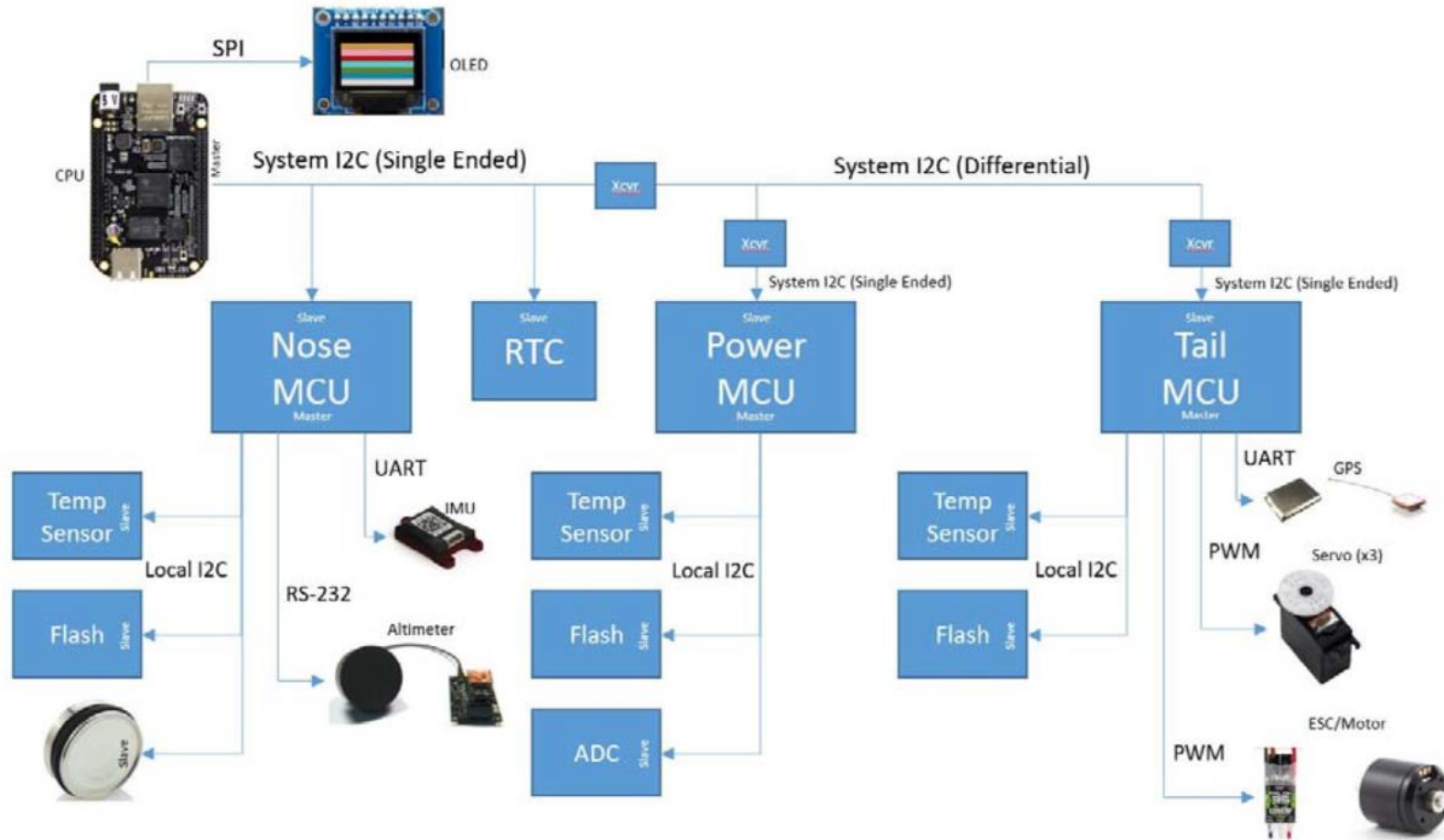
# Architecture du Contrôle

---

- TROIS COUCHES DE CONTRÔLE
- CONTRÔLE PAR FLUX «DOWN» ET «UP»



# Architecture Electronique



# Ecran de Status



The screenshot shows a status screen for 'Riptide WUUU'. The screen displays various system parameters and their status. A red box highlights the status column on the left, and a red arrow points to a red heart icon in the top right corner. A legend on the left explains the status colors, and a legend on the right explains the data colors. A list of parameters is shown in a box on the right.

**Subsystem status**

- Grey = no data
- Green = good
- Yellow = warning
- Red = error

**Status and data:**

- Grey = off / stale data
- Blue = on / recent data
- Green = data well within operational range
- Yellow = data marginal, take note
- Red = data indicates caution or fault
- Blank = data never reported

**Heartbeat indicates display is actively being updated**

- IMU heading
- GPS satellites/fix
- Depth/temp
- Altimeter status
- Power/battery
- Navigation
- IP Address

**Screen Content:**

```
Riptide WUUU
IMU HDG= 32
GPS SAT= 9 FIX
DEP 0m 24C
ALT PING
PWR NPTM 18.1V
NAV 73.68847W
192.168.1.210
```

# Interface Web

**Riptide**  
Autonomous Solutions

Mission Manager   Checkout   MOOS Variables   Repository   Monitor

Query   Load Mission   Create Mission

Name	Type	Date	Notes
------	------	------	-------

Status :

**Tail**

Dorsal Fin

Port Fin

Starboard Fin

Thrust

Drop Weight  Off

White Strobe  Off

**GPS**        
Latitude° Longitude° Quality Sat. Count

**IMU**       
Roll° Pitch° Yaw° Heading°

**Altimeter**      
Altitude (m) Not Pinging Ping Rate

**Pressure**       
Pressure (psi) Temperature (°C) Depth (m)

**Power**        
Nose (V) Tail (V) Payload (V) Motor (V)

# Software de départ

---

- Développement sous MOOS
- Prêt pour des missions sous le bon format
- ROS non installé
- MOOS non installé
- Aucune solution de développement
- Aucun code source ni documentation précise

# Passage de MOOS à ROS

---

## Espionner les communications I2C

- Avantage :
  - Pouvoir recoder depuis le départ
  - Enlever MOOS

## Mettre un place un bridge en MOOS et ROS

- Avantage
  - Plus simple
  - Les régulateurs en vitesse et en cap sont déjà réglés
- Utilisation des commande ***uPoke*** pour remplacer une valeur de la base de données
- Utilisation des commande ***uXMS*** pour lire des valeurs dans la base de données

# Architecture finale

---

## Commande :

- Réception d'une commande par le nœud ROS du bridge
- Écriture dans la base de données sur la variable DESIRED\_HEADING
- Processus MOOS (pMarinePID) calcul les commandes moteurs
- Envoi en i2c de la commande moteur

## Capteur :

- Mesure des capteurs
- Communication i2c
- Traitement et filtre réalisé par un processus MOOS
- Lecture des valeurs dans la base de données par le nœud ROS du bridge

# II. Travail réalisé

---

## 1. Utilisation des AUV

1. Riptide

2. Folaga

## 2. Modélisation des AUV

1. Modèles des AUV

2. Identification des paramètres

## 3. Gestion des cycles stables

1. Trouver des cycles stables

2. Intelligence de parcours entre cycles stables

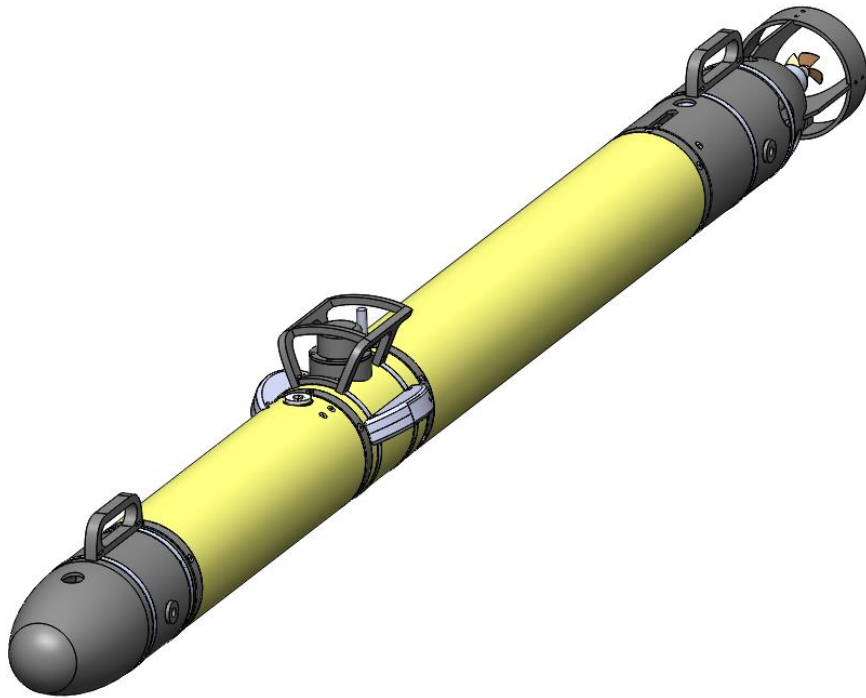
3. Stabilité des cycles par Tubex

## 4. Simulation

1. Simulation de la commande

2. Simulateur 3D

# Le Folaga



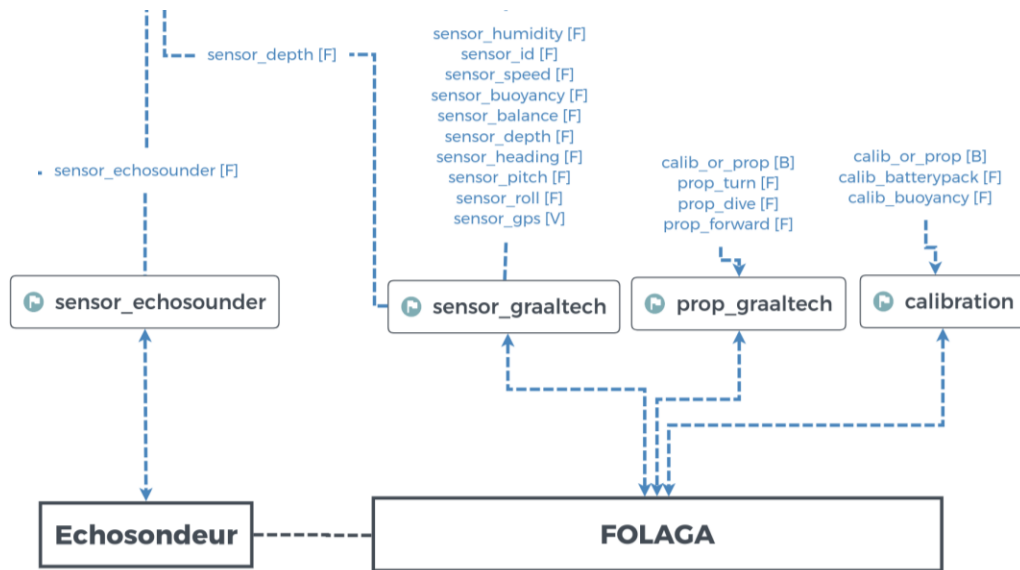
## Actionneurs :

- 8 Pompes pour tourner et plonger
- 1 moteur+hélice pour la propulsion

## Capteurs :

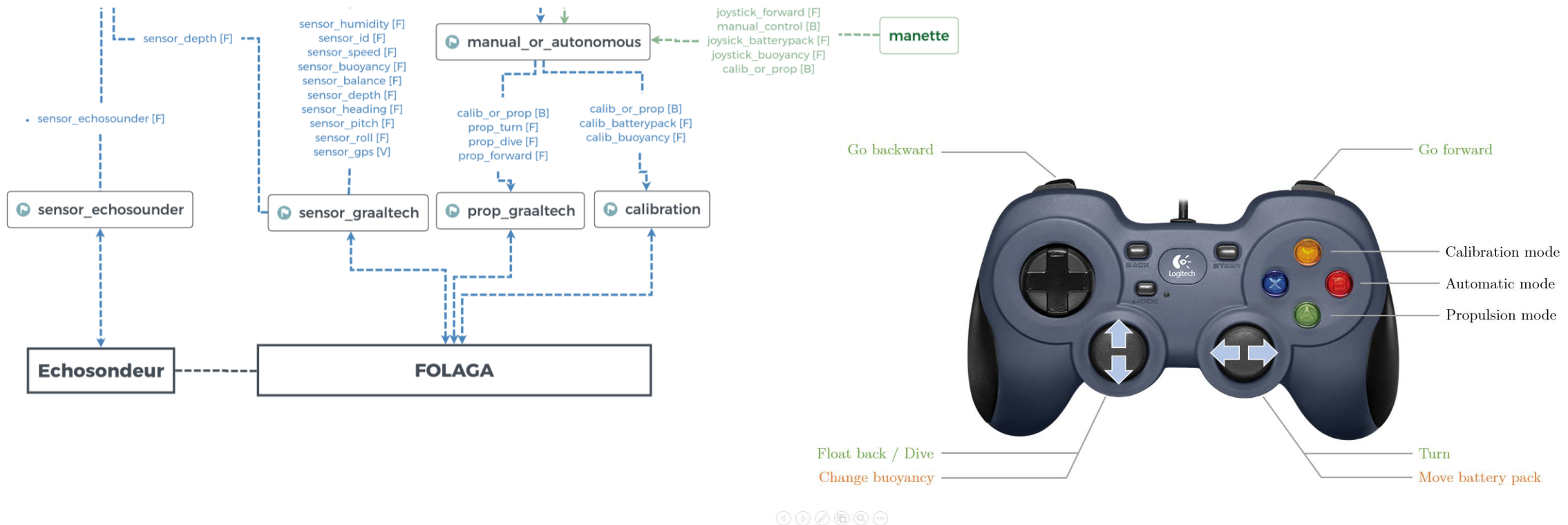
- IMU
- GPS
- Capteur de pression

# Architecture ROS : Bas niveau

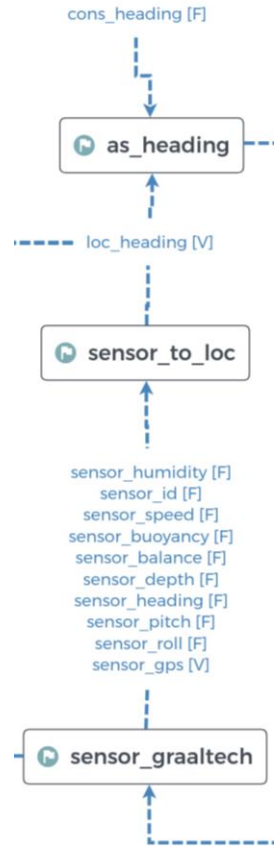


Ordinateur Graaltech

# Architecture ROS : mode manuel

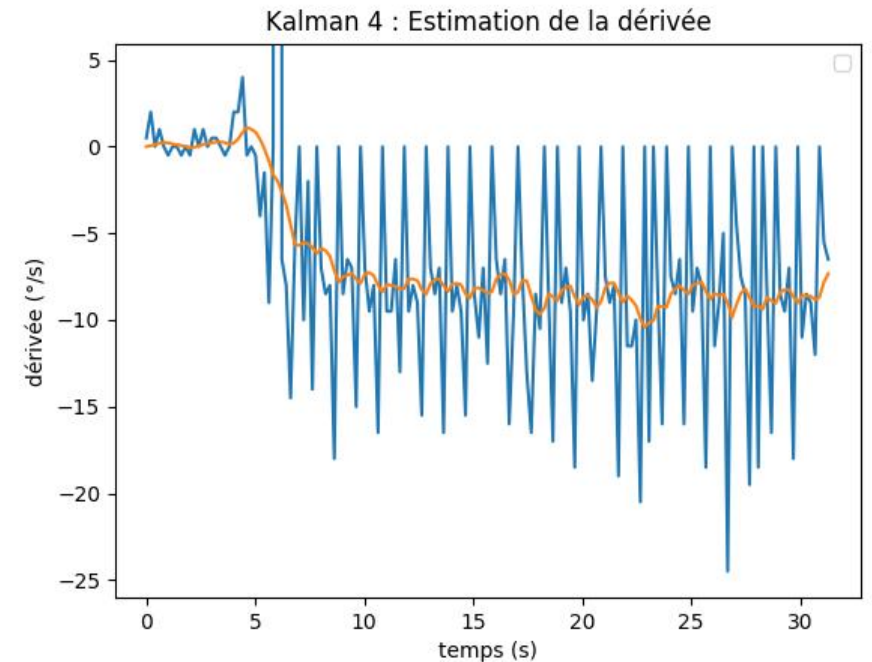


# Architecture ROS : Asservissement en cap

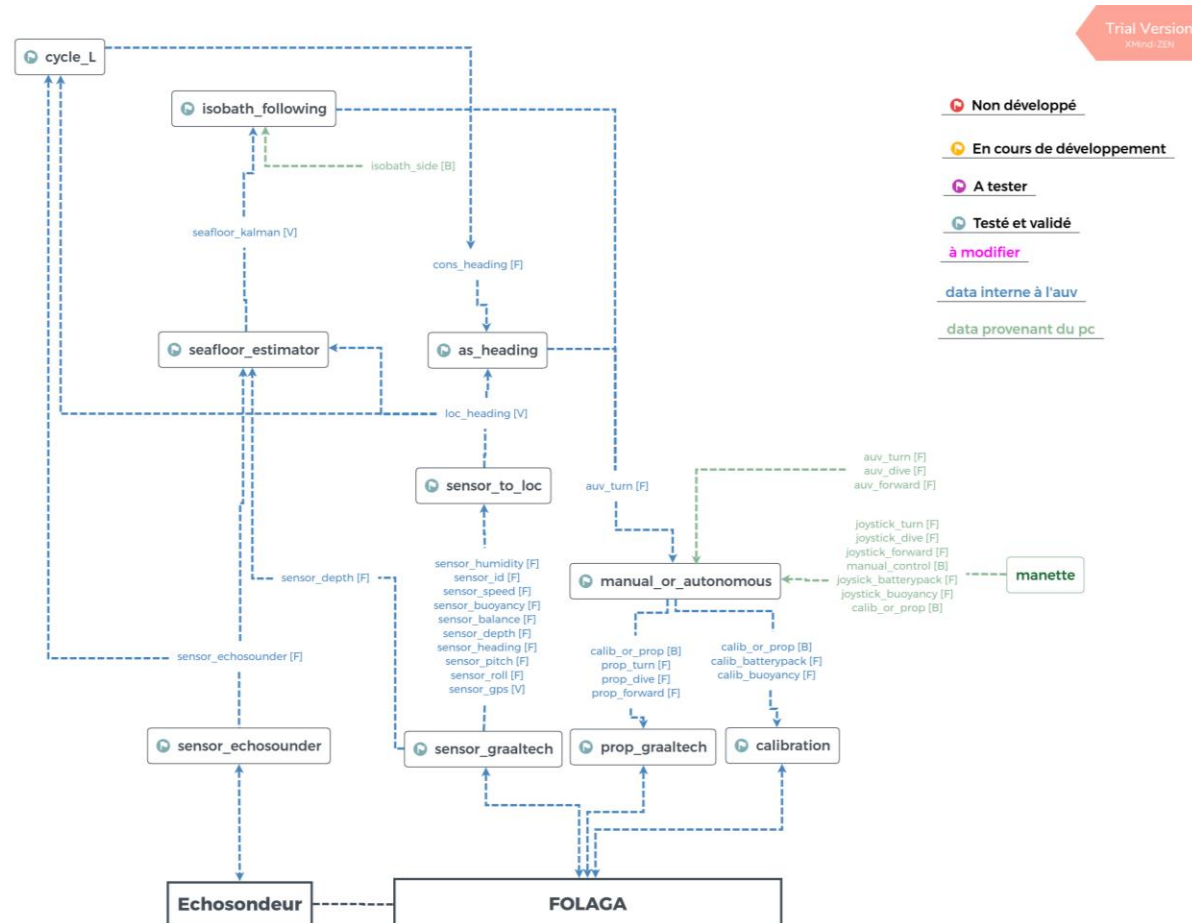


$$x_{k+1} = \begin{bmatrix} x_1 \\ x_2 \\ x_3 \end{bmatrix} = \begin{bmatrix} x_1 - dt \cdot x_3 \cdot x_2 \\ x_2 + dt \cdot x_3 \cdot x_1 \\ x_3 \end{bmatrix}$$

$$y = \begin{bmatrix} \cos(\theta_{mes}) \\ \sin(\theta_{mes}) \\ \frac{st(\theta_{mes} - \theta_{mes-1})}{dt} \\ 1 \end{bmatrix} \sim \begin{bmatrix} x_1 \\ x_2 \\ x_3 \\ x_1^2 + x_2^2 \end{bmatrix}$$



# Architecture ROS : Suivi de cycle



# II. Travail réalisé

---

## 1. Utilisation des AUV

1. Riptide

2. Folaga

## 2. Modélisation des AUV

1. Modèles des AUV

2. Identification des paramètres

## 3. Gestion des cycles stables

1. Trouver des cycles stables

2. Intelligence de parcours entre cycles stables

3. Stabilité des cycles par Tubex

## 4. Simulation

1. Simulation de la commande

2. Simulateur 3D

# 1. Modèle des AUV

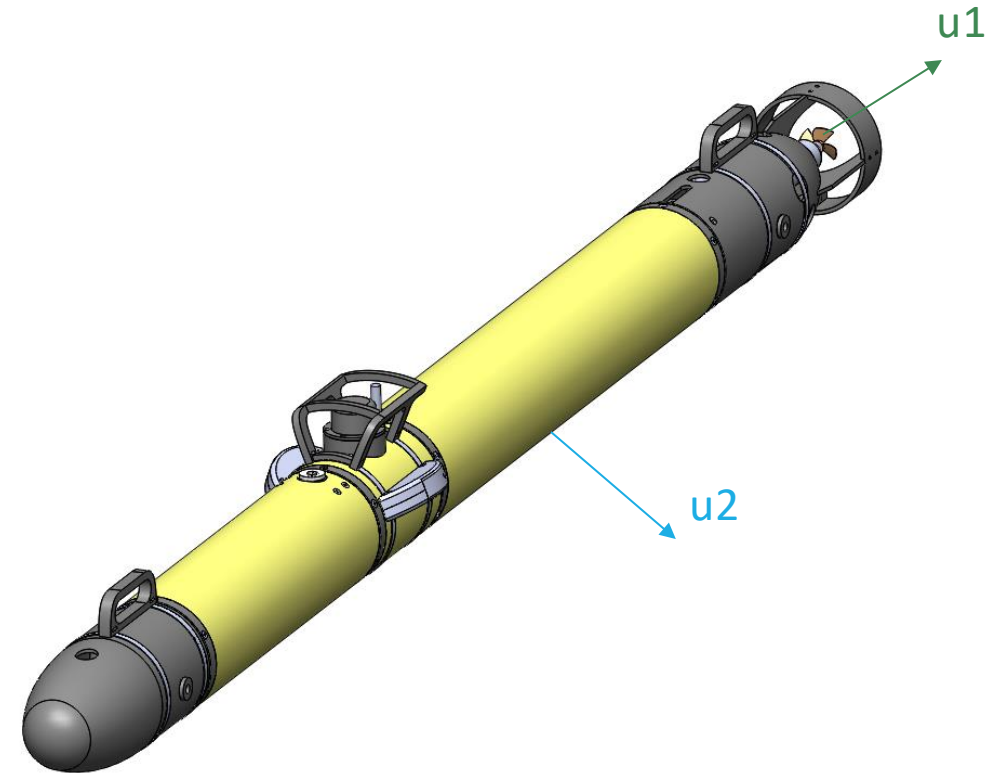
## 1. Pour le Folaga

Modèle classique

$$\begin{cases} \dot{p} = R(\phi, \theta, \psi) * (v_x, 0, 0)^T \\ \dot{v}_x = p_1 * u_0 * |u_0| - p_2 * v_x * |v_x| \\ \begin{bmatrix} \dot{\phi} \\ \dot{\theta} \\ \dot{\psi} \end{bmatrix} = \begin{bmatrix} 1 & \tan(\theta) \cdot \sin(\phi) & \tan(\theta) \cdot \cos(\phi) \\ 0 & \cos(\phi) & -\sin(\phi) \\ 0 & \frac{\sin(\phi)}{\cos(\theta)} & \frac{\cos(\phi)}{\cos(\theta)} \end{bmatrix} \cdot \begin{bmatrix} w_{rx} \\ w_{ry} \\ w_{rz} \end{bmatrix} \\ \begin{bmatrix} \dot{w}_{rx} \\ \dot{w}_{ry} \\ \dot{w}_{rz} \end{bmatrix} = (I^{-1}) \cdot \begin{bmatrix} 0 \\ 0 \\ p_3 * u_2 * |u_2| - p_4 * w_{rz} * |w_{rz}| \end{bmatrix} \end{cases}$$

Avec hypothèses simplificatrices

$$\begin{cases} \dot{p} = R(\phi, \theta, \psi) * (v_x, 0, 0)^T \\ \dot{v}_x = p_1 * u_0 * |u_0| - p_2 * v_x * |v_x| \\ \begin{bmatrix} \dot{\phi} \\ \dot{\theta} \\ \dot{\psi} \end{bmatrix} = \begin{bmatrix} 1 & 0 & 0 \\ 0 & 1 & 0 \\ 0 & 0 & 1 \end{bmatrix} \cdot \begin{bmatrix} w_{rx} \\ w_{ry} \\ w_{rz} \end{bmatrix} \\ \begin{bmatrix} \dot{w}_{rx} \\ \dot{w}_{ry} \\ \dot{w}_{rz} \end{bmatrix} = \begin{bmatrix} 0 \\ 0 \\ p_5 * u_2 * |u_2| - p_6 * w_{rz} * |w_{rz}| \end{bmatrix} \end{cases}$$

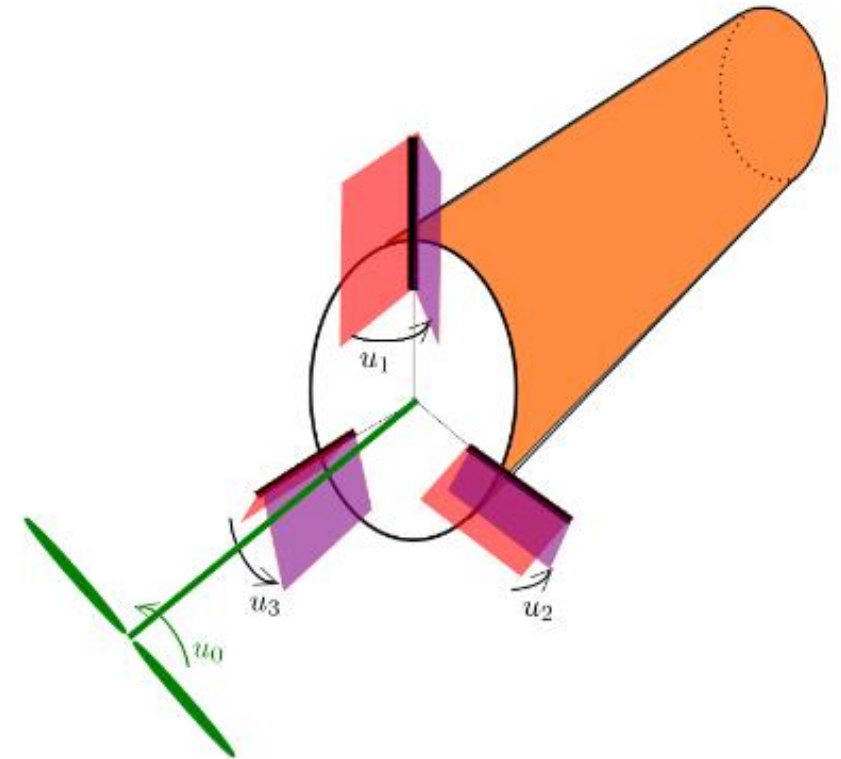


# 1. Modèle des AUV

## 2. Pour le Riptide

$$\begin{cases} \dot{p} = R(\phi, \theta, \psi) * (v_x, 0, 0)^T \\ \dot{v}_x = p_1 * u_0 * |u_0| - p_2 * v_x * |v_x| \\ \begin{bmatrix} \dot{\phi} \\ \dot{\theta} \\ \dot{\psi} \end{bmatrix} = \begin{bmatrix} 1 & \tan(\theta) \cdot \sin(\phi) & \tan(\theta) \cdot \cos(\phi) \\ 0 & \cos(\phi) & -\sin(\phi) \\ 0 & \frac{\sin(\phi)}{\cos(\theta)} & \frac{\cos(\phi)}{\cos(\theta)} \end{bmatrix} \cdot v_x \cdot \mathbf{B}(p_3, p_4) \cdot \begin{bmatrix} u_1 \\ u_2 \\ u_3 \end{bmatrix} \end{cases}$$

$$\text{avec } B = \begin{pmatrix} p_3 & 0 & 0 \\ 0 & p_4 & 0 \\ 0 & 0 & p_4 \end{pmatrix} \cdot \begin{pmatrix} -1 & -1 & -1 \\ 0 & \sin(2\pi/3) & -\sin(2\pi/3) \\ 1 & \cos(2\pi/3) & \cos(2\pi/3) \end{pmatrix}.$$



# II. Travail réalisé

---

## 1. Utilisation des AUV

1. Riptide

2. Folaga

## 2. Modélisation des AUV

1. Modèles des AUV

2. Identification des paramètres

## 3. Gestion des cycles stables

1. Trouver des cycles stables

2. Intelligence de parcours entre cycles stables

3. Stabilité des cycles par Tubex

## 4. Simulation

1. Simulation de la commande

2. Simulateur 3D

## 2. Identification des paramètres

### 1. Identification des paramètres à rechercher

Pour le Folaga

$$\begin{cases} \dot{p} = R(\phi, \theta, \psi) * (v_x, 0, 0)^T \\ \dot{v}_x = p_1 * u_0 * |u_0| - p_2 * v_x * |v_x| \\ \begin{bmatrix} \dot{\phi} \\ \dot{\theta} \\ \dot{\psi} \end{bmatrix} = \begin{bmatrix} 1 & 0 & 0 \\ 0 & 1 & 0 \\ 0 & 0 & 1 \end{bmatrix} * \begin{bmatrix} w_{rx} \\ w_{ry} \\ w_{rz} \end{bmatrix} \\ \begin{bmatrix} \dot{w}_{rx} \\ \dot{w}_{ry} \\ \dot{w}_{rz} \end{bmatrix} = \begin{bmatrix} 0 \\ 0 \\ p_5 * u_2 * |u_2| - p_6 * w_{rz} * |w_{rz}| \end{bmatrix} \end{cases}$$

Pour le Riptide

$$\begin{cases} \dot{p} = R(\phi, \theta, \psi) * (v_x, 0, 0)^T \\ \dot{v}_x = p_1 * u_0 * |u_0| - p_2 * v_x * |v_x| \\ \begin{bmatrix} \dot{\phi} \\ \dot{\theta} \\ \dot{\psi} \end{bmatrix} = \begin{bmatrix} 1 & \tan(\theta) \cdot \sin(\phi) & \tan(\theta) \cdot \cos(\phi) \\ 0 & \cos(\phi) & -\sin(\phi) \\ 0 & \frac{\sin(\phi)}{\cos(\theta)} & \frac{\cos(\phi)}{\cos(\theta)} \end{bmatrix} * v_x * B(p_3, p_4) * \begin{bmatrix} u_1 \\ u_2 \\ u_3 \end{bmatrix} \end{cases}$$

$$\text{avec } B = \begin{pmatrix} p_3 & 0 & 0 \\ 0 & p_4 & 0 \\ 0 & 0 & p_4 \end{pmatrix} * \begin{pmatrix} -1 & -1 & -1 \\ 0 & \sin(2\pi/3) & -\sin(2\pi/3) \\ 1 & \cos(2\pi/3) & \cos(2\pi/3) \end{pmatrix}.$$

↓  
Approximation via la matrice d'inertie d'un cylindre

# 2. Identification des paramètres

## 2. Protocole d'obtention des paramètres dynamiques

---

Protocole :

1 : commande constante, atteinte de la vitesse  $V_{cst}$

2 : arrêt de la commande

En 2 :  $-p_{frot} \cdot V \cdot |V| = a = 0$        $V(t) = \frac{V_{cst}}{V_{cst} p_{frot} t + 1}$        $M(t) = M(0) + \frac{\log(V_{cst} p_{frot} t + 1)}{p_{frot}}$

En 1 :  $p_{prop} * u * |u| - p_{frot} * V * |V| = 0$

## 2. Identification des paramètres

### 2. Protocole d'obtention des paramètres dynamiques par la méthode des intervalles

---

Méthodes :

1 : commande constante, puis arrêt de la commande

2 : Modèle complet

En 1 :

$$\psi(t) = \psi(0) + \frac{\log(\dot{\psi}(0) * p_6 * t + 1)}{p_6} \quad \ddot{\psi} = p_5 * u^3 * |u^3| - p_6 * \dot{\psi} * |\dot{\psi}|$$

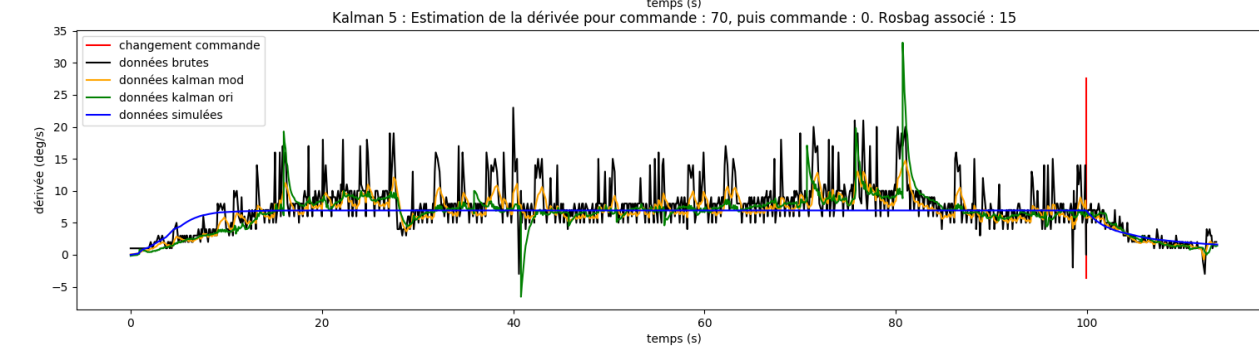
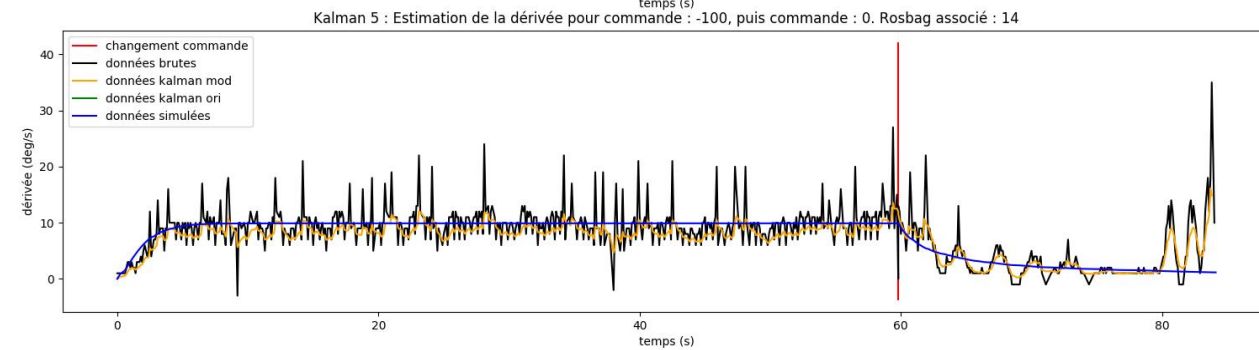
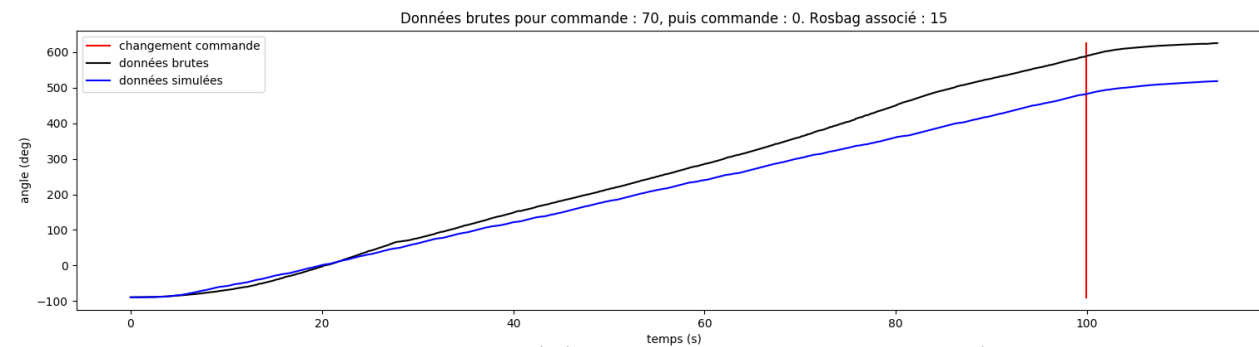
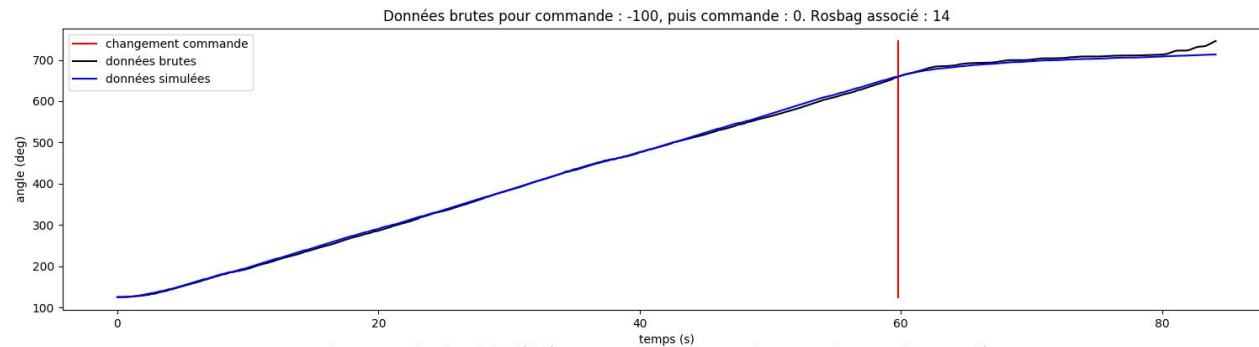
En 2 :

$$\ddot{\psi} = p_5 * u^3 * |u^3| - p_6 * \dot{\psi} * |\dot{\psi}|$$

# 2. Identification des paramètres

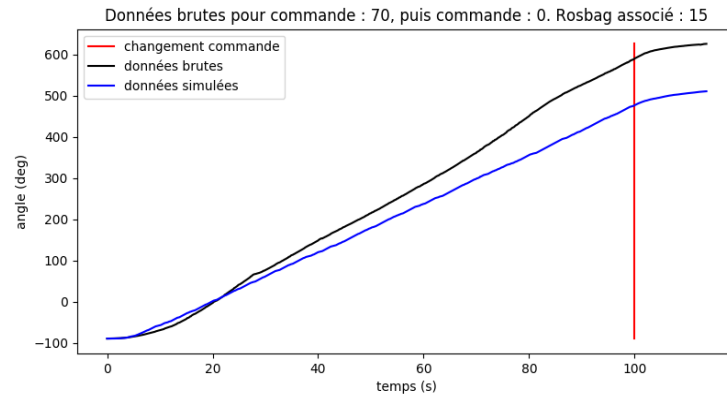
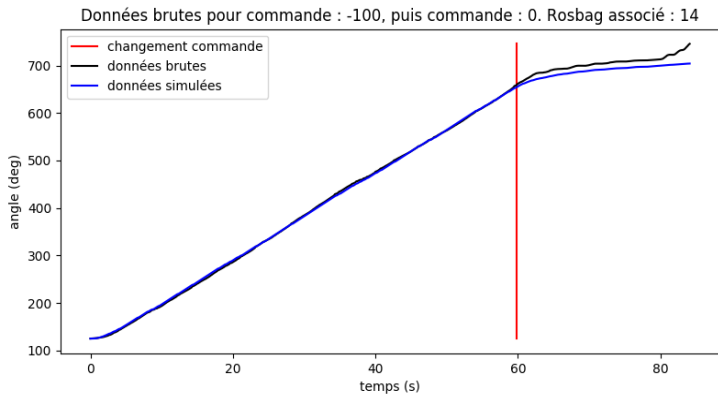
## 3. Application pour les coefficients en rotation du Folaga

Obtention via minimisation par moindres carrés : mauvais résultats au lac Ty Colo et dans la piscine de l'ENSTA, bons résultats dans la Penfeld.

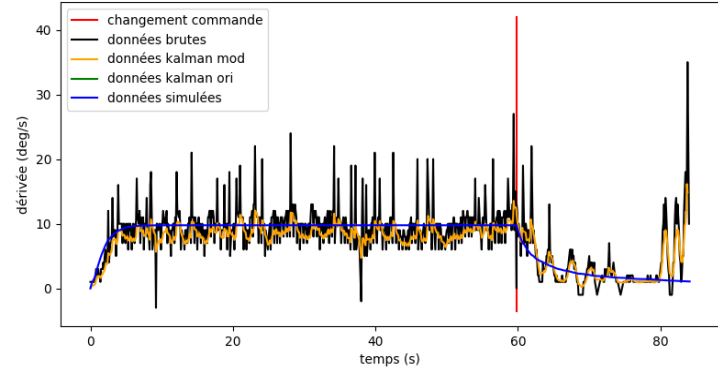


# 2. Identification des paramètres

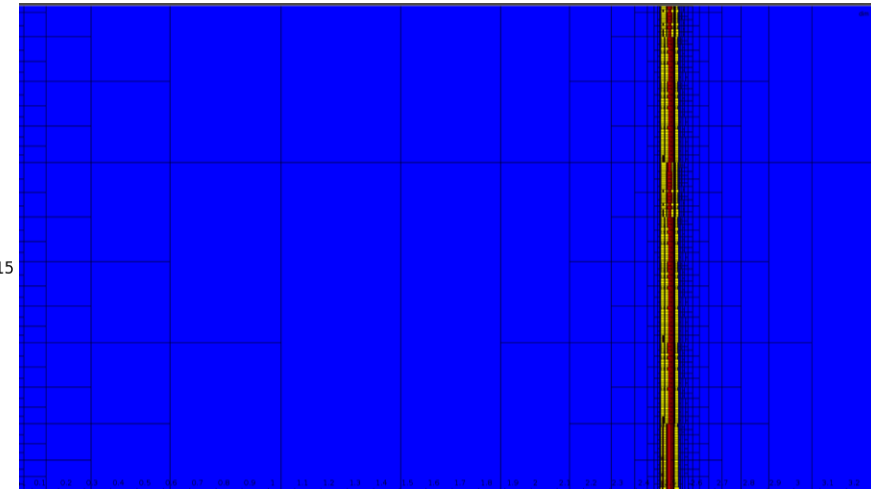
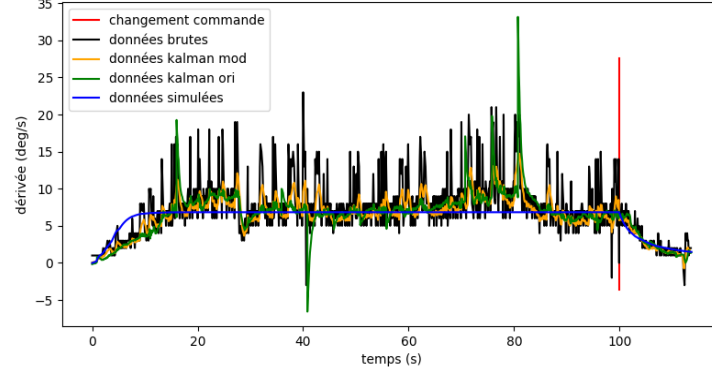
## 3. Application pour les coefficients en rotation du Folaga par la méthode des intervalles



Kalman 5 : Estimation de la dérivée pour commande : -100, puis commande : 0. Rosbag associé : 14



Kalman 5 : Estimation de la dérivée pour commande : 70, puis commande : 0. Rosbag associé : 15



# II. Travail réalisé

---

## 1. Utilisation des AUV

1. Riptide
2. Folaga

## 2. Modélisation des AUV

1. Modèles des AUV
2. Identification des paramètres

## 3. Gestion des cycles stables

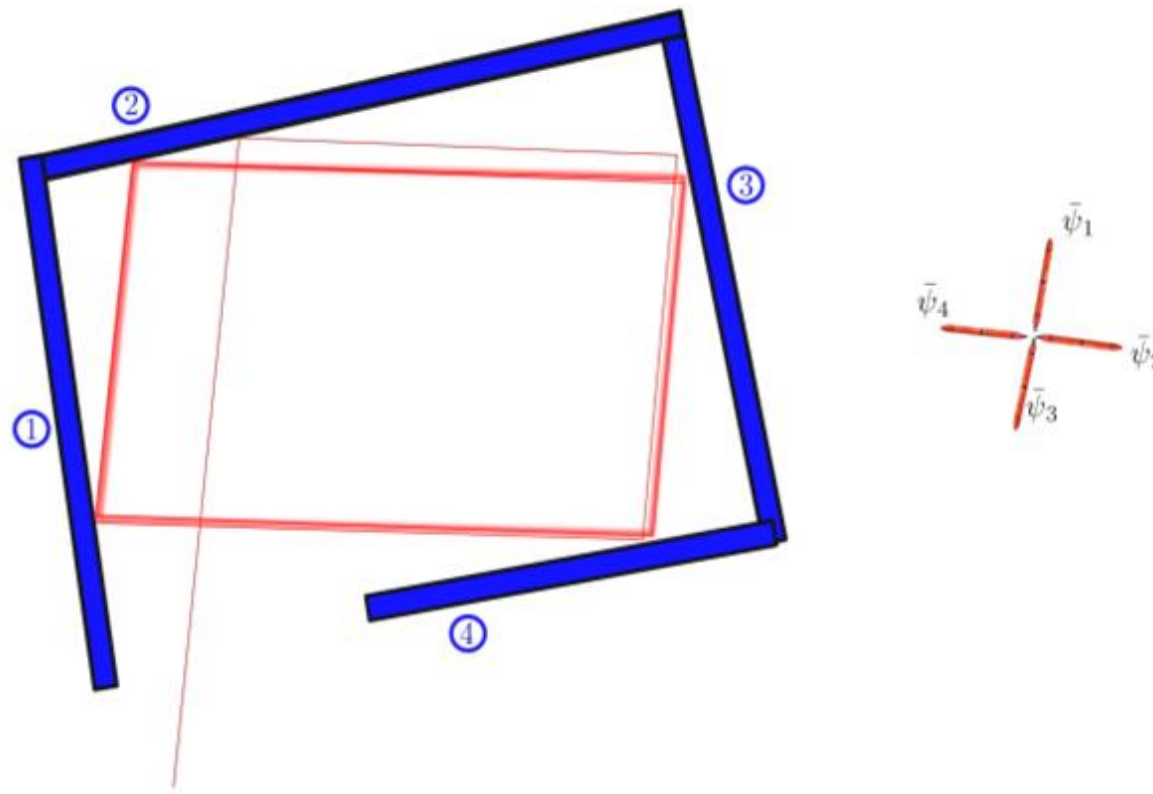
1. Trouver des cycles stables
2. Intelligence de parcours entre cycles stables
3. Stabilité des cycles par Tubex

## 4. Simulation

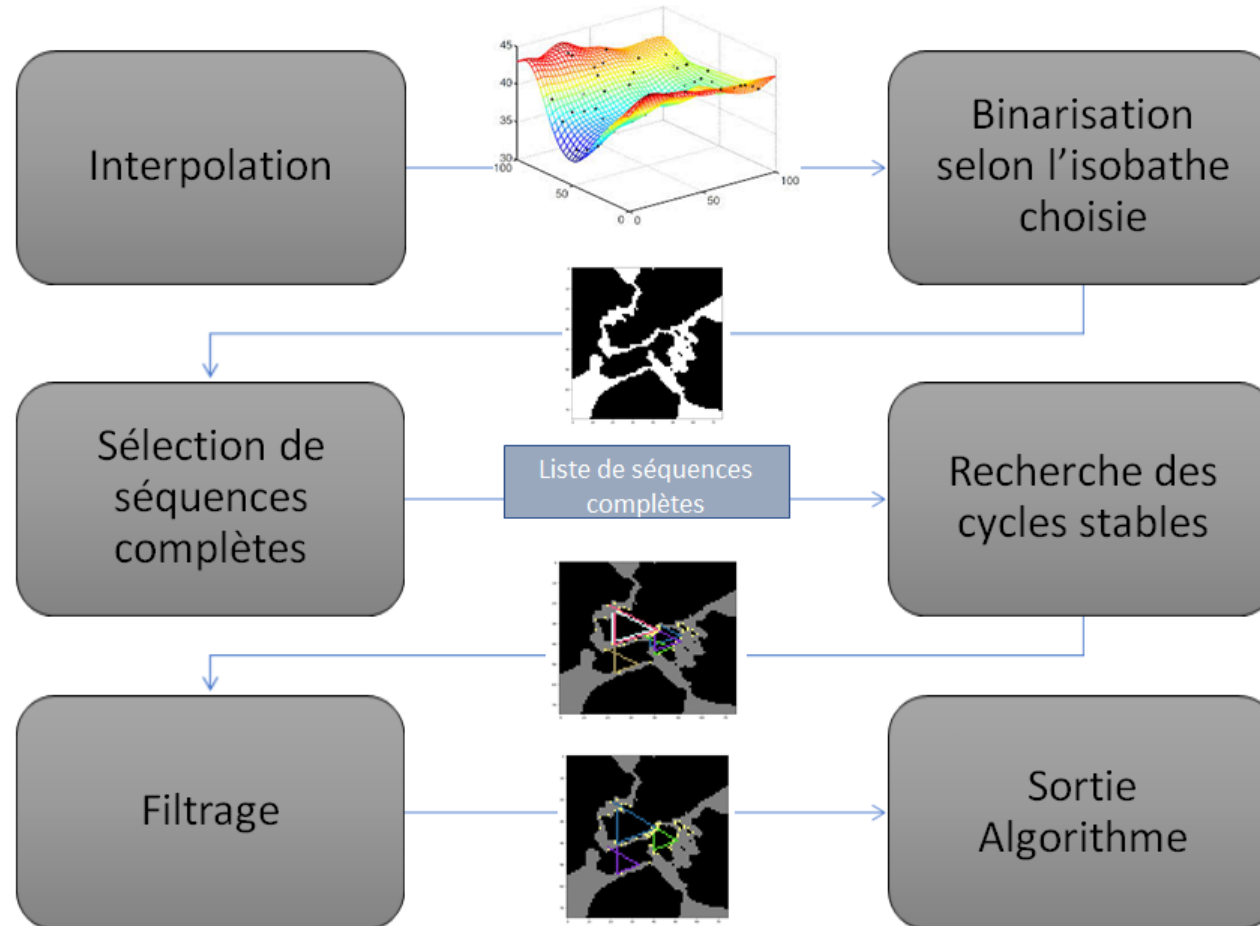
1. Simulation de la commande
2. Simulateur 3D

# Définition d'un cycle stable

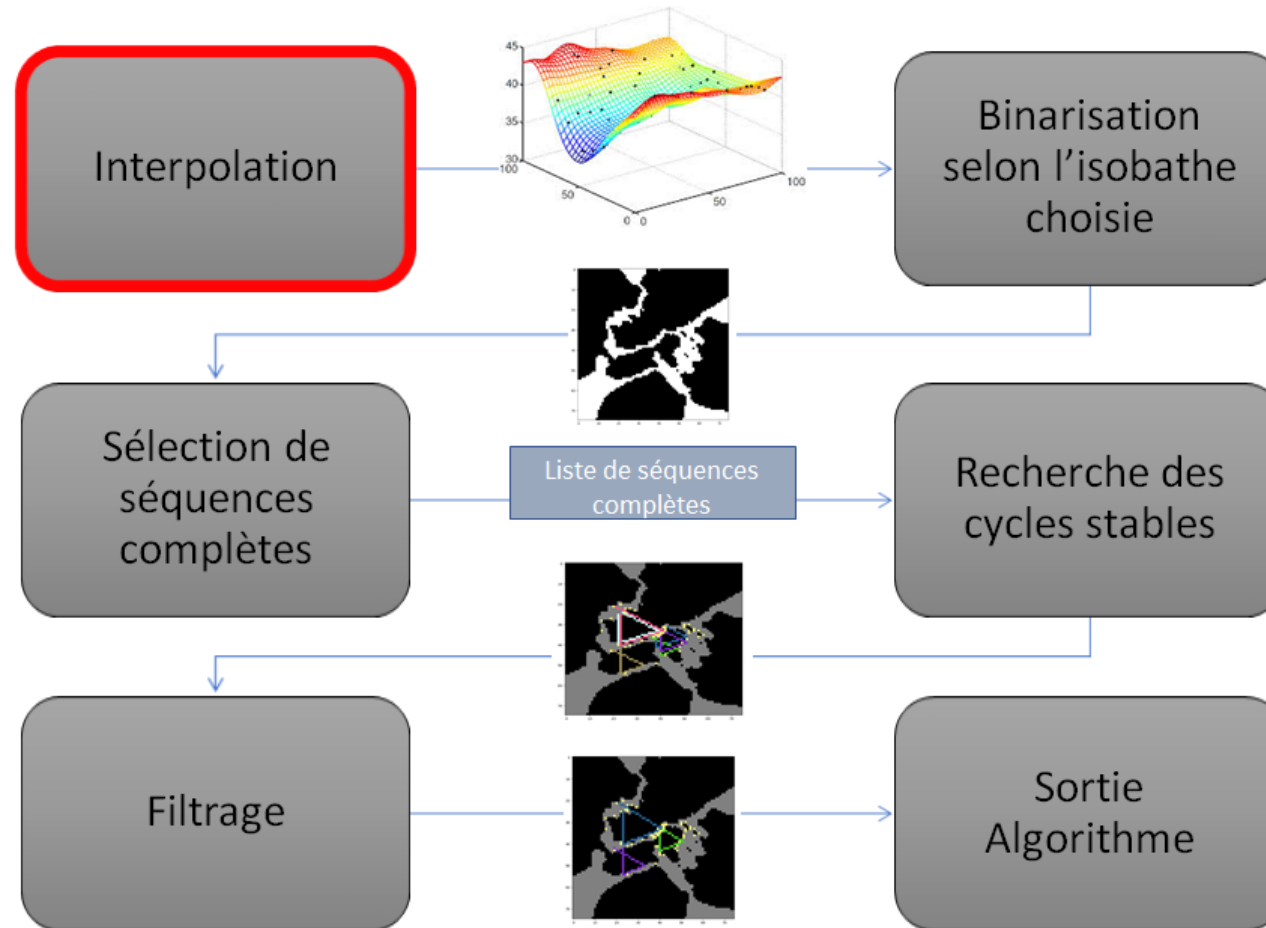
---



# Etapes de l'algorithme



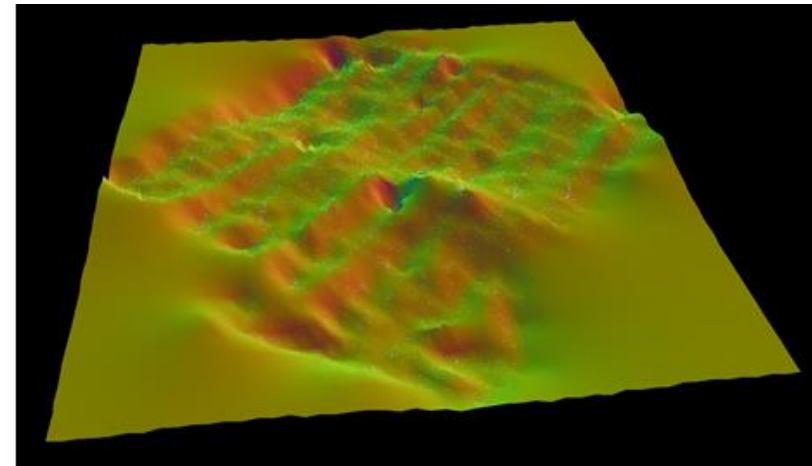
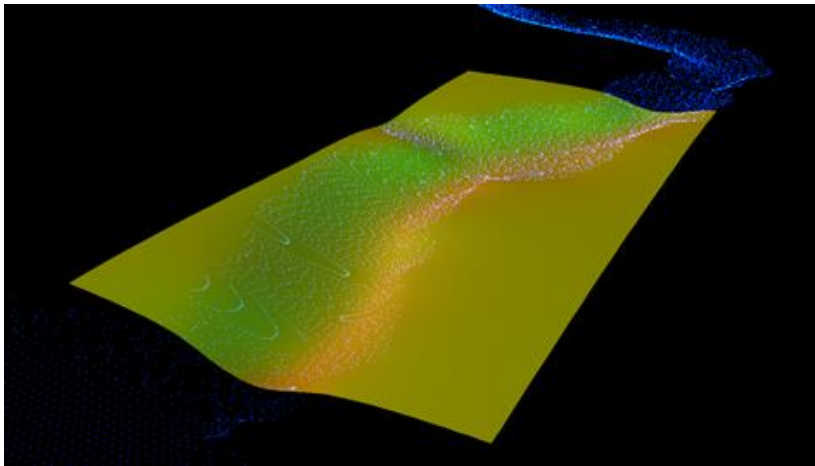
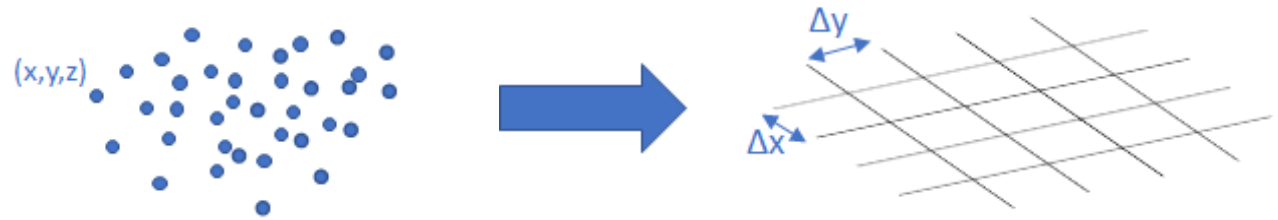
# Etapes de l'algorithme



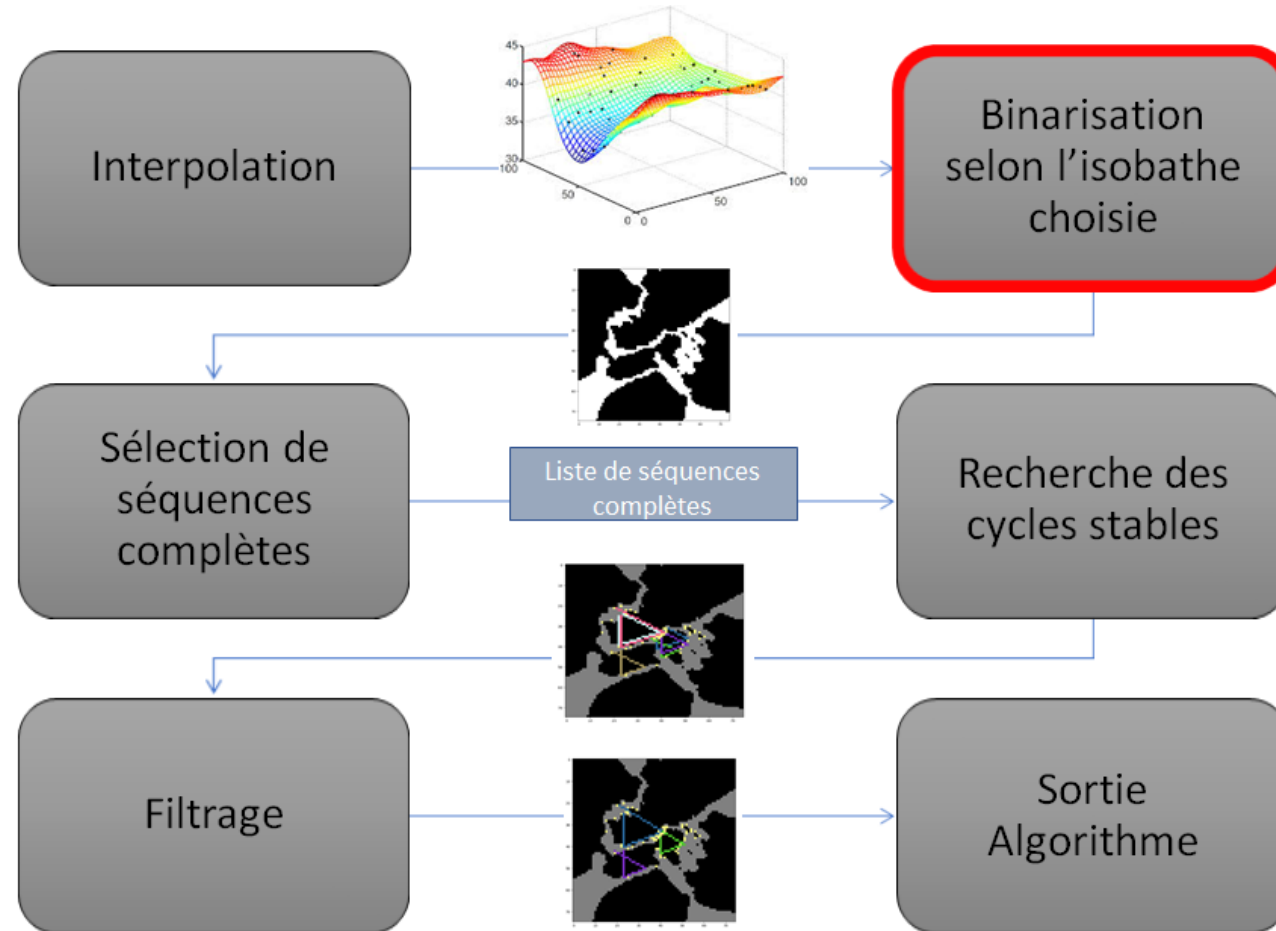
# Interpolation

---

- Krigeage ordinaire:
  - Minimisation de la variance de l'erreur de prévision
  - Nécessite un modèle de dépendance spatiale



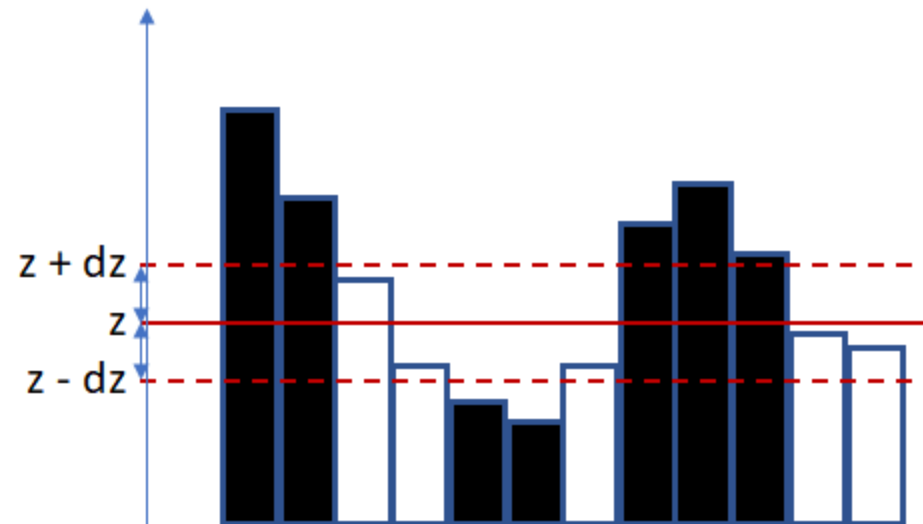
# Etapas de l'algorithmme



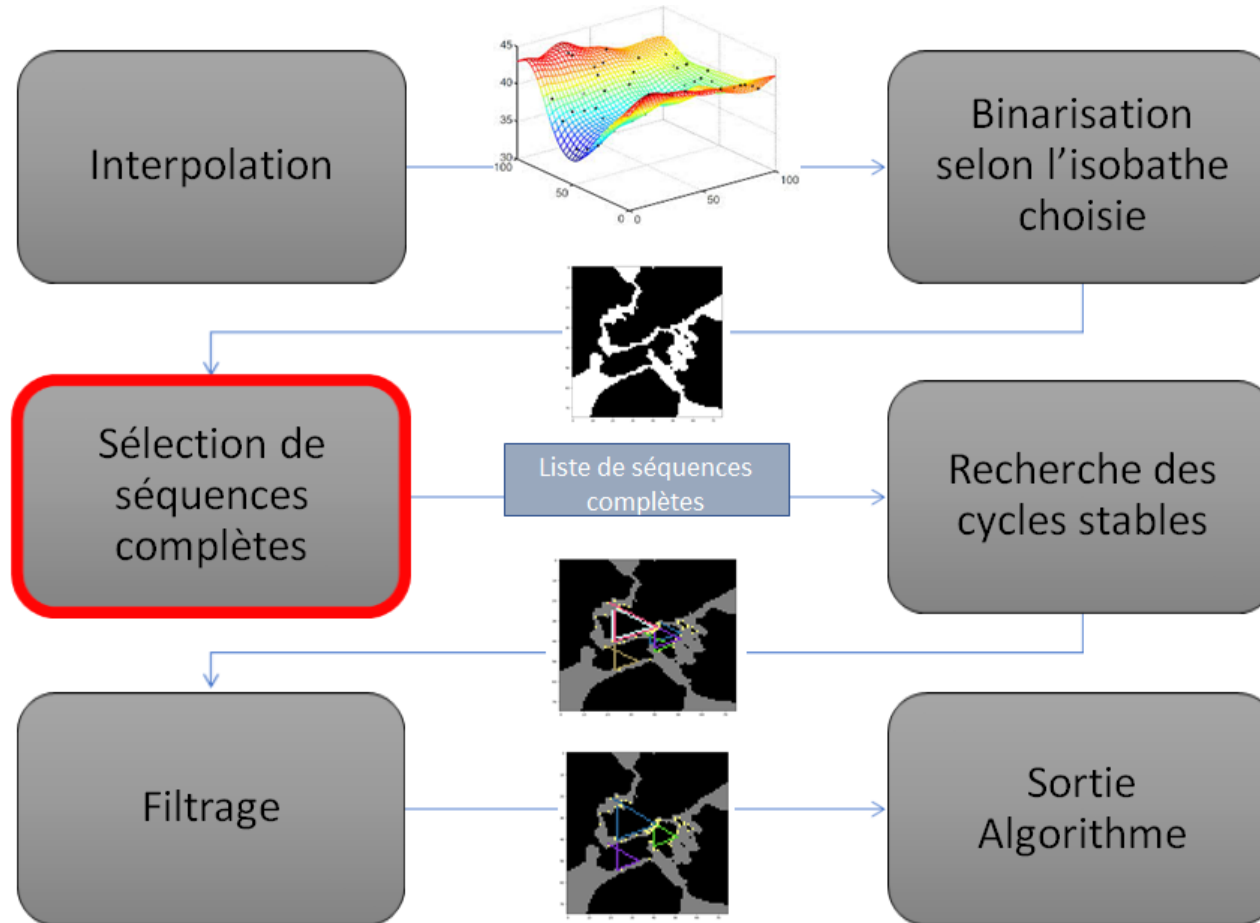
# Binarisation

---

- Choix d'une profondeur  $z$
- Choix d'une marge de détection  $dz$



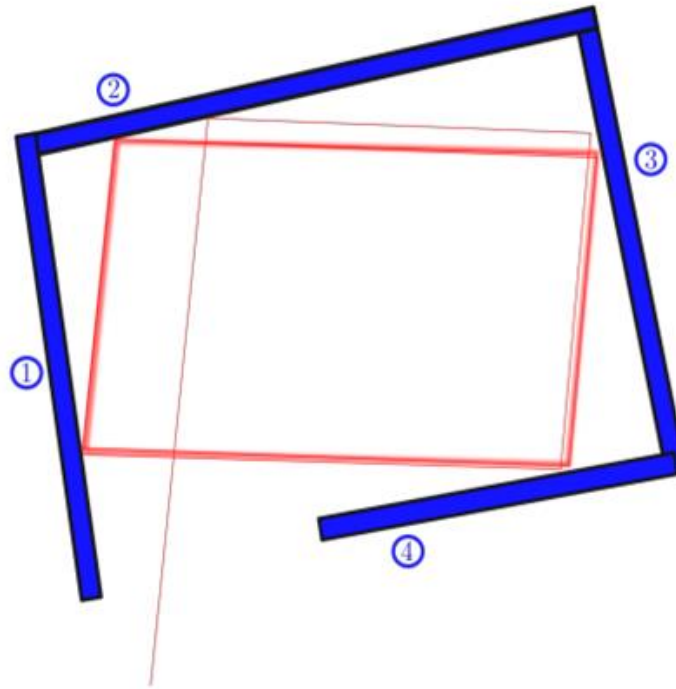
# Étapes de l'algorithme



# Sélection des séquences complètes

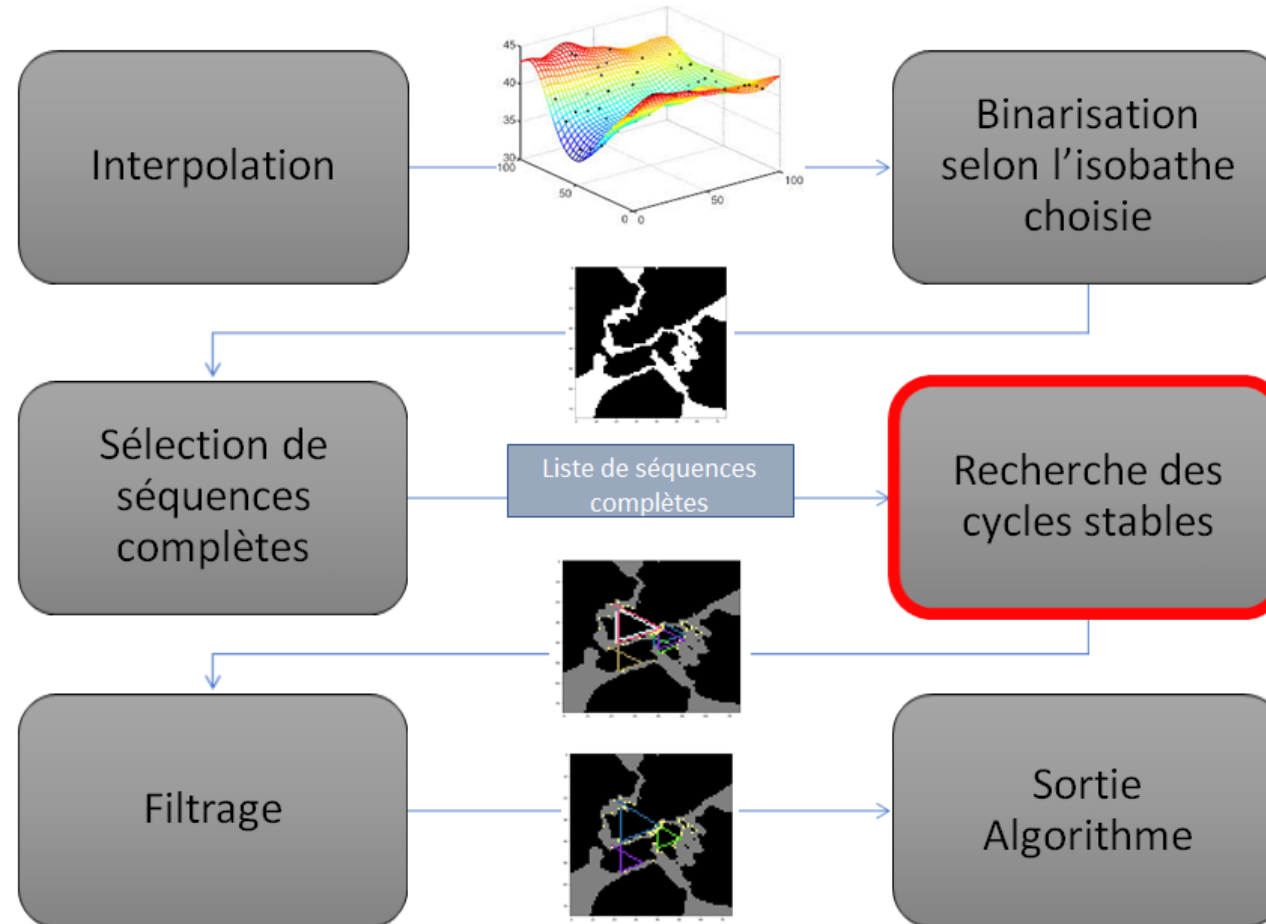
---

- Critère: Nombre de rebonds



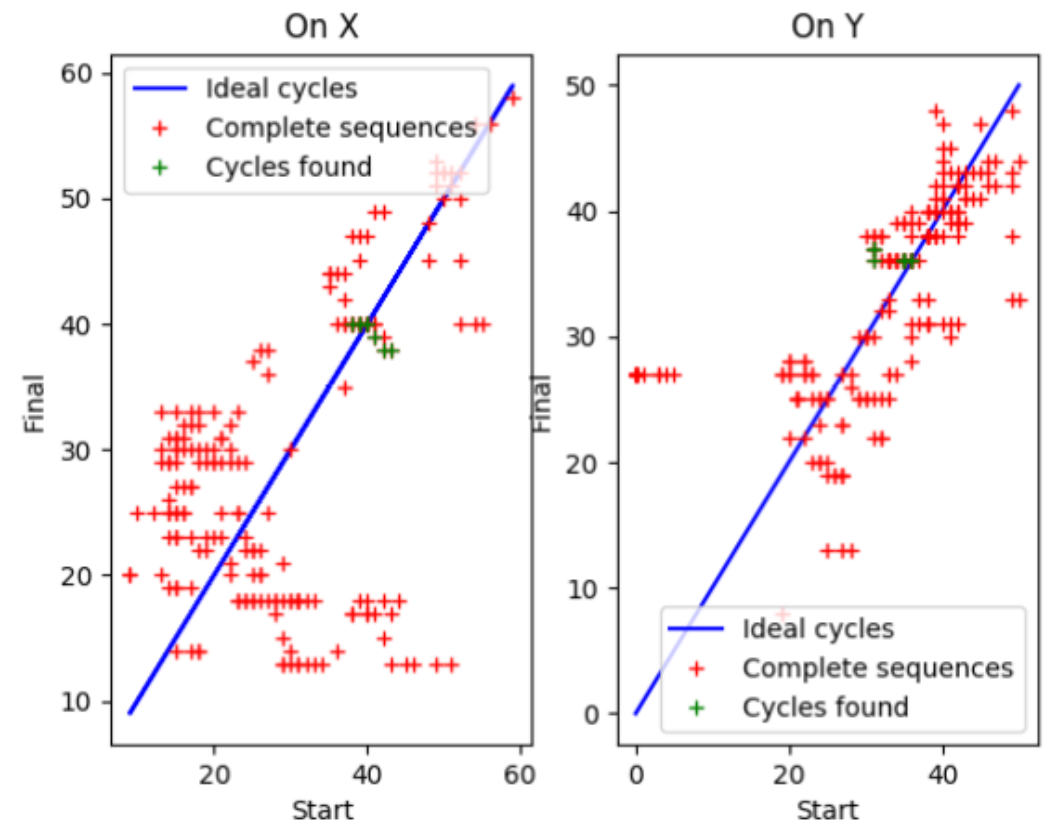
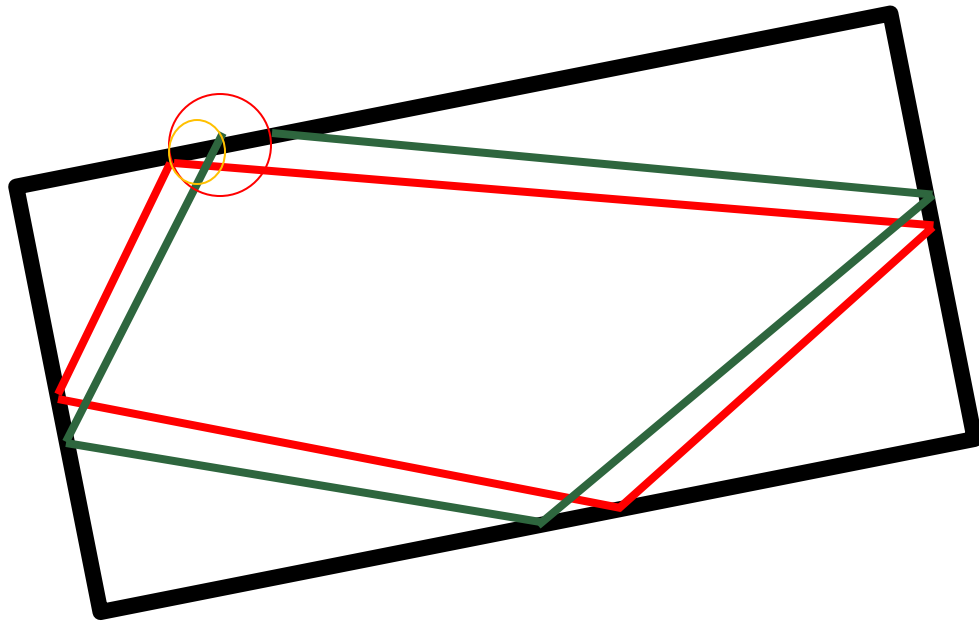
séquence complète = ① + ② + ③ + ④

# Étapes de l'algorithme

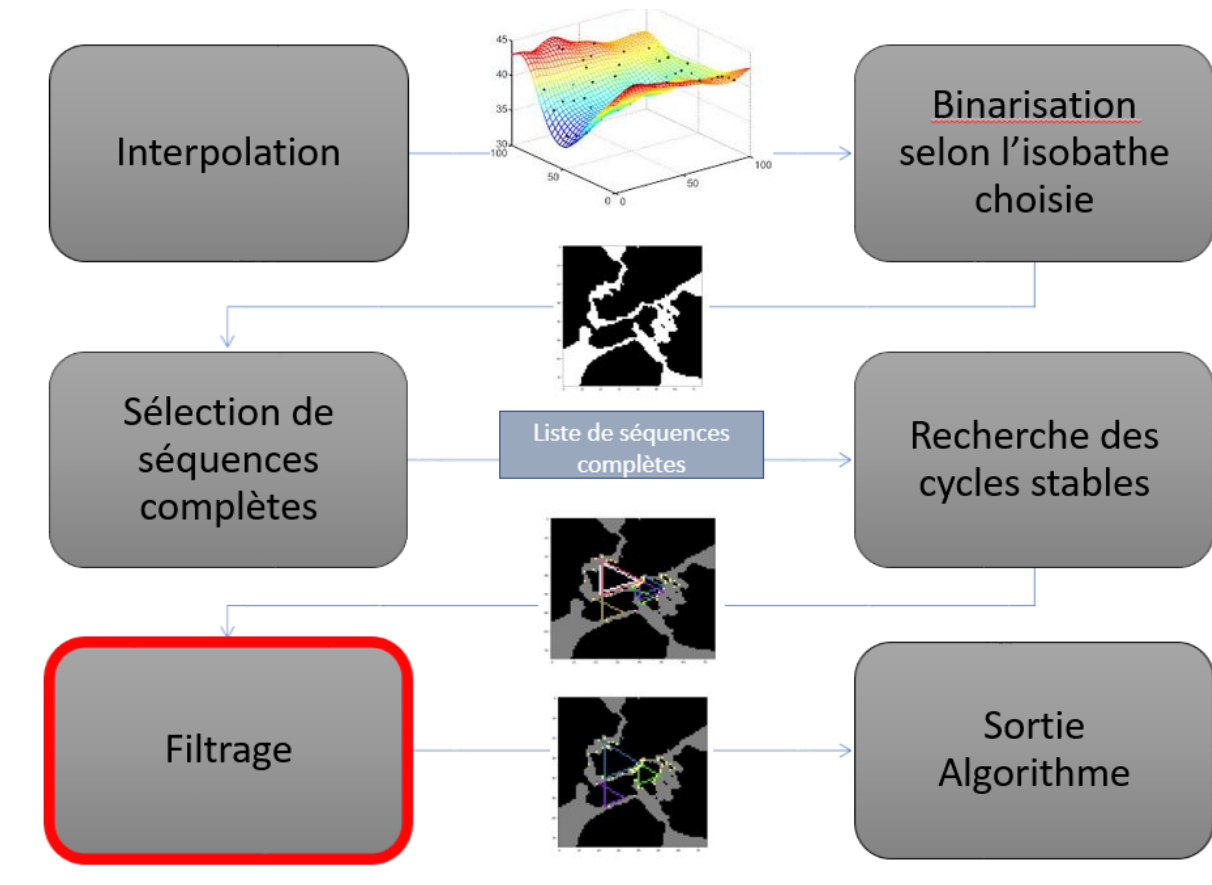


# Recherche des cycles stables

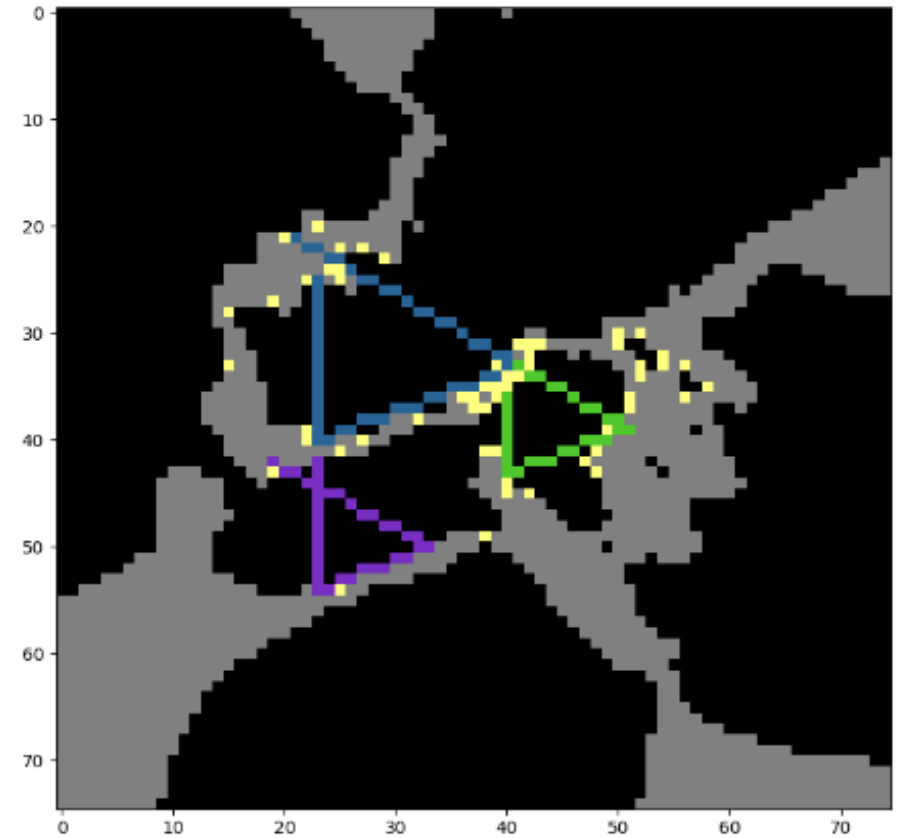
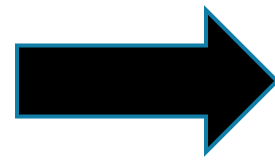
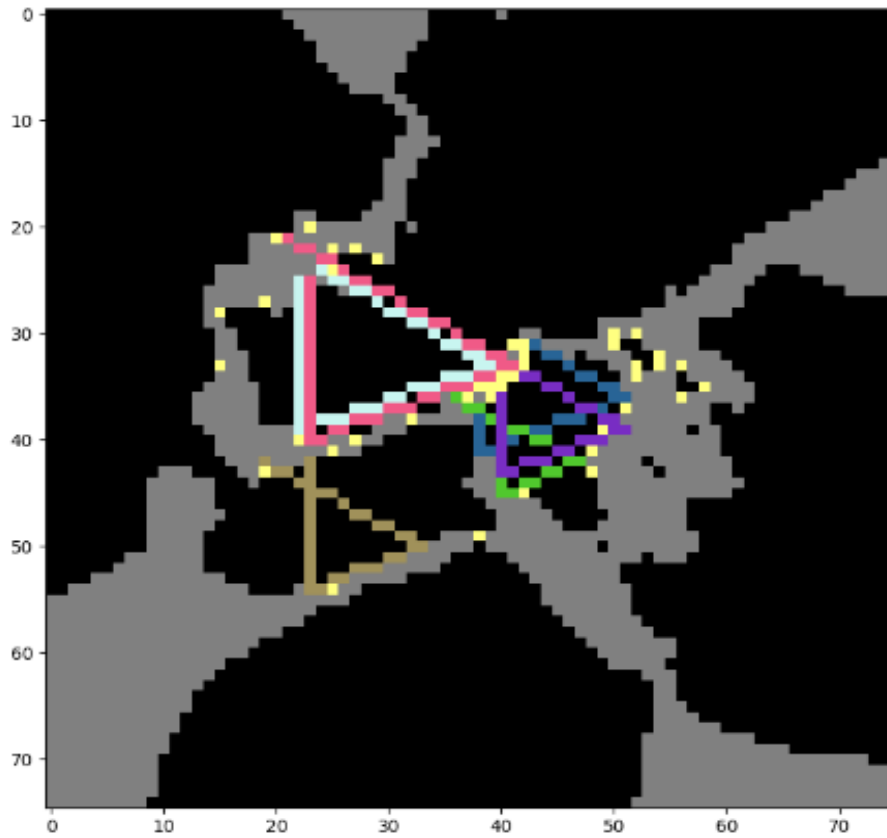
- Critère de Banach



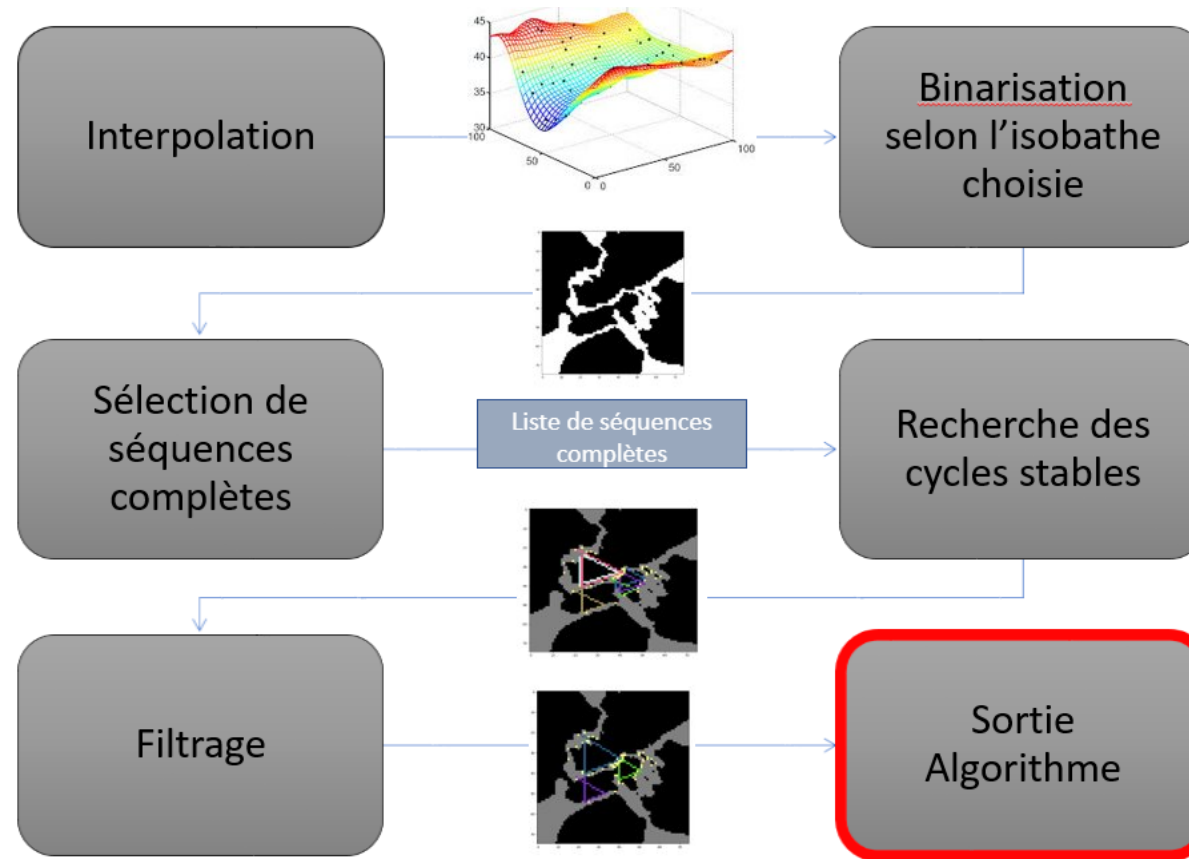
# Etapes de l'algorithme



# Filtrage



# Etapes de l'algorithme



# Sortie de l'algorithme

---

```
Searching stable cycles...
[[[21 21]
  [33 41]
  [40 23]
  [25 23]]

 [[24 24]
  [33 39]
  [39 22]
  [25 22]]

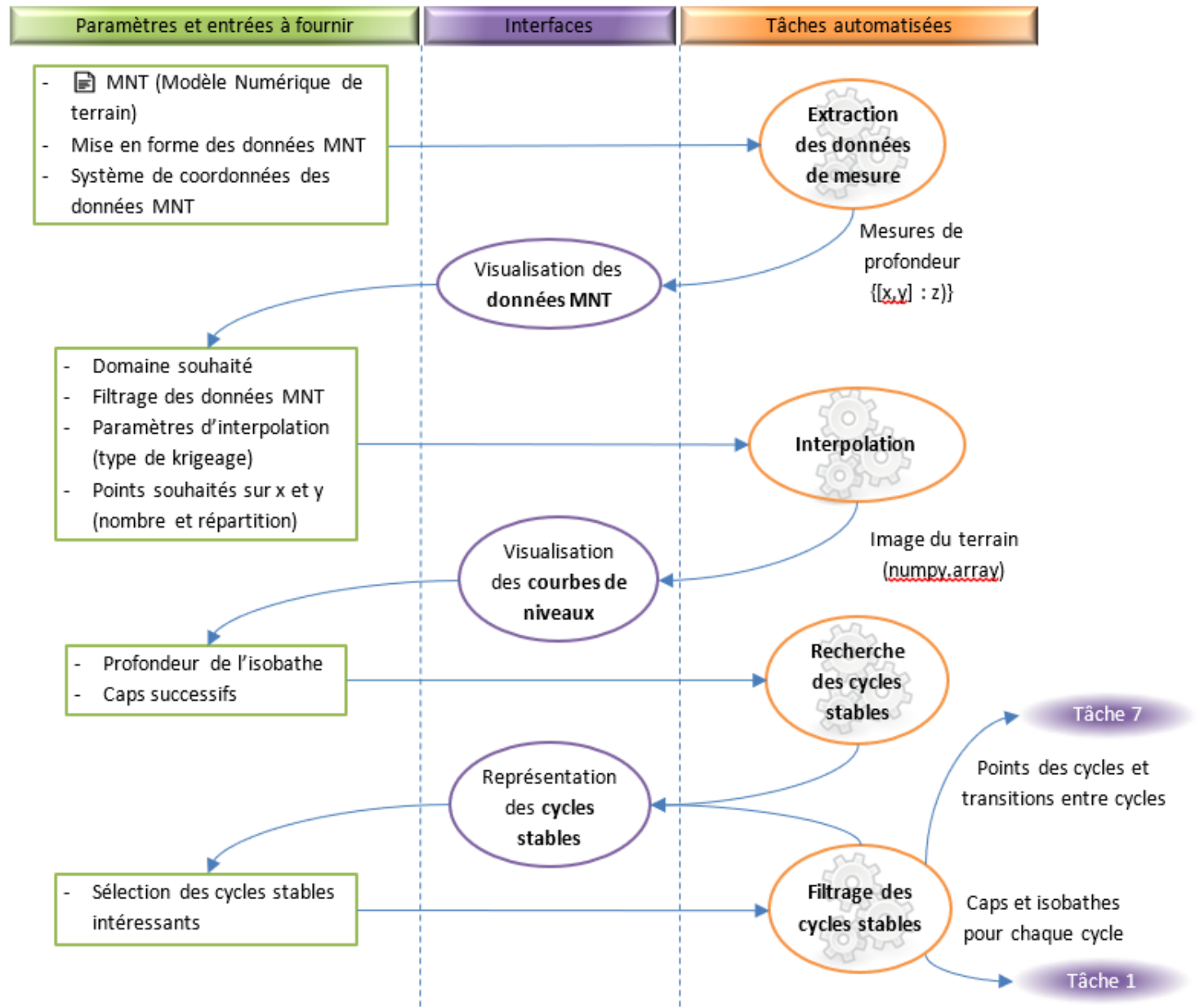
 [[31 43]
  [36 51]
  [41 38]
  [37 38]]

 [[33 41]
  [39 51]
  [43 40]
  [36 40]]

 [[36 36]
  [42 47]
  [45 40]
  [36 40]]

 [[42 19]
  [50 33]
  [54 23]
  [42 23]]]
There are 6 zones
There are respectively composed by [3, 2, 7, 3, 11, 1]_cycles
```

# Paramètres



# II. Travail réalisé

---

## 1. Utilisation des AUV

1. Riptide
2. Folaga

## 2. Modélisation des AUV

1. Modèles des AUV
2. Identification des paramètres

## 3. Gestion des cycles stables

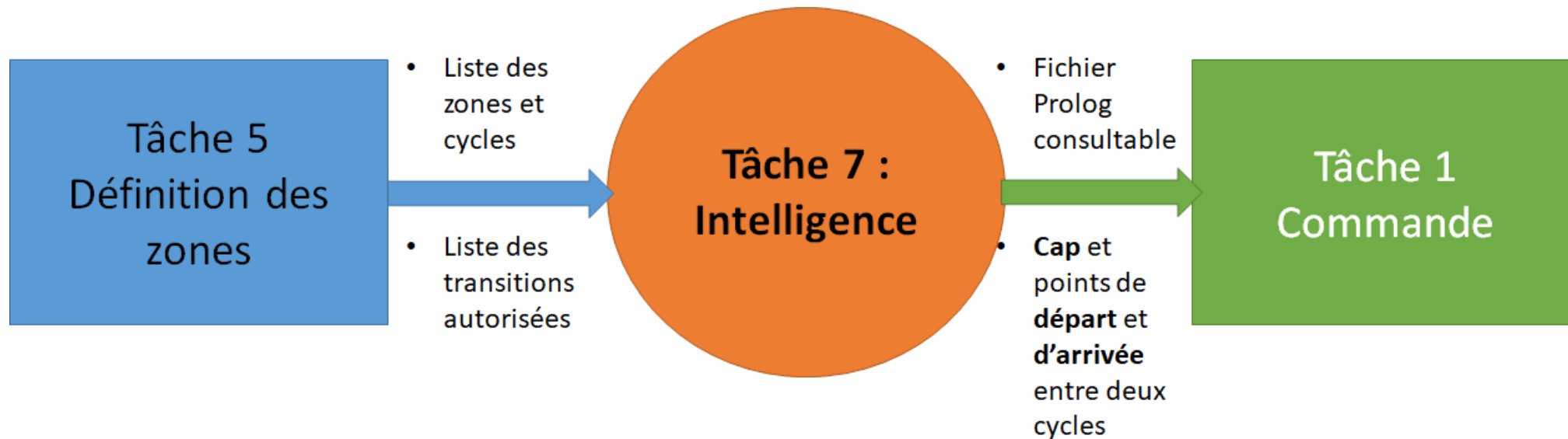
1. Trouver des cycles stables
2. Intelligence de parcours entre cycles stables
3. Stabilité des cycles par Tubex

## 4. Simulation

1. Simulation de la commande
2. Simulateur 3D

# Position de la tâche dans le projet

---



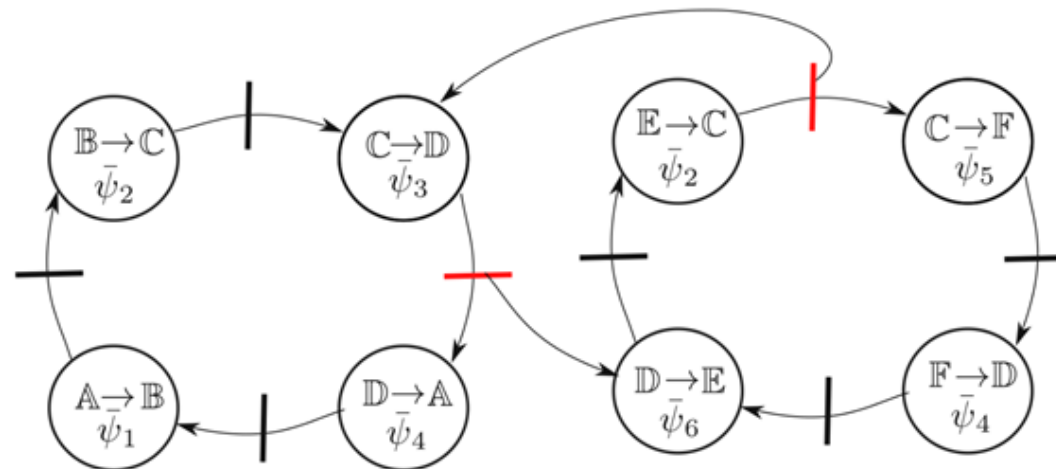
# Travail effectué

---

- Travail en deux temps :
  - Création d'un fichier Prolog sur un exemple particulier
  - Génération automatique de ce fichier pour un ensemble de zones quelconques
- Le fichier final est donc adapté aux sorties de la tâche 5

# Travail effectué

- Trois étapes pour la génération du code Prolog :
  1. Générer les états
  2. Générer les transitions
  3. Développer un algorithme de recherche de chemin



# Représentation schématique

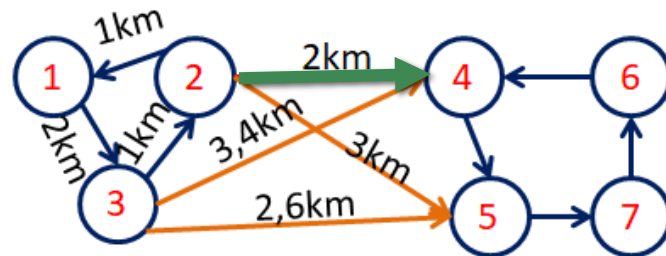
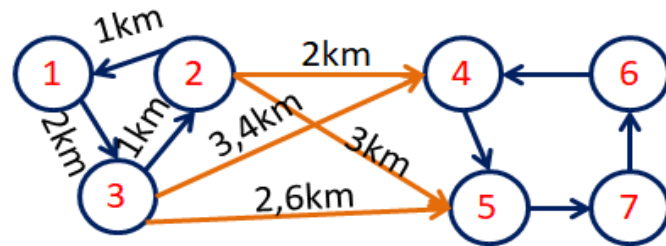
1. Récupération des cycles et transitions

2. Génération automatique du code prolog

3. Calcul du plus court chemin entre deux cycles

4. Renvoi du cap et des 2 points extrêmes

- 1) [ZonesCycle 1, ZonesCycle 2..., ZonesCycle n]
- 2) [Transitions 1 à 2, Transitions 2 à 3 , ... Transitions n-1 à n]



**Requête** : Cycle 1 à Cycle 2

**Réponse** : Zone 2, Zone 4, Cap(Zone2,Zone4)

# Travail effectué

---

- Algorithme de recherche de chemin en Prolog:
  - Prise en compte des distances entre les points automatiquement calculés
  - Liste de tous les chemins possibles entre deux zones, et calcul du plus court
- Traitement du chemin généré sous Python:
  - Détermination des changements de cycles
  - En retourner les caps et points extrêmes

# Evolution possible

---

- Gestion des requêtes inattendues comme :
  - L'évitement de zones (ou obstacles)
  - Le passage obligé par une zone
- Générer un automate complet qui gère la commande de l'AUV en cap

# II. Travail réalisé

---

## 1. Utilisation des AUV

1. Riptide
2. Folaga

## 2. Modélisation des AUV

1. Modèles des AUV
2. Identification des paramètres

## 3. Gestion des cycles stables

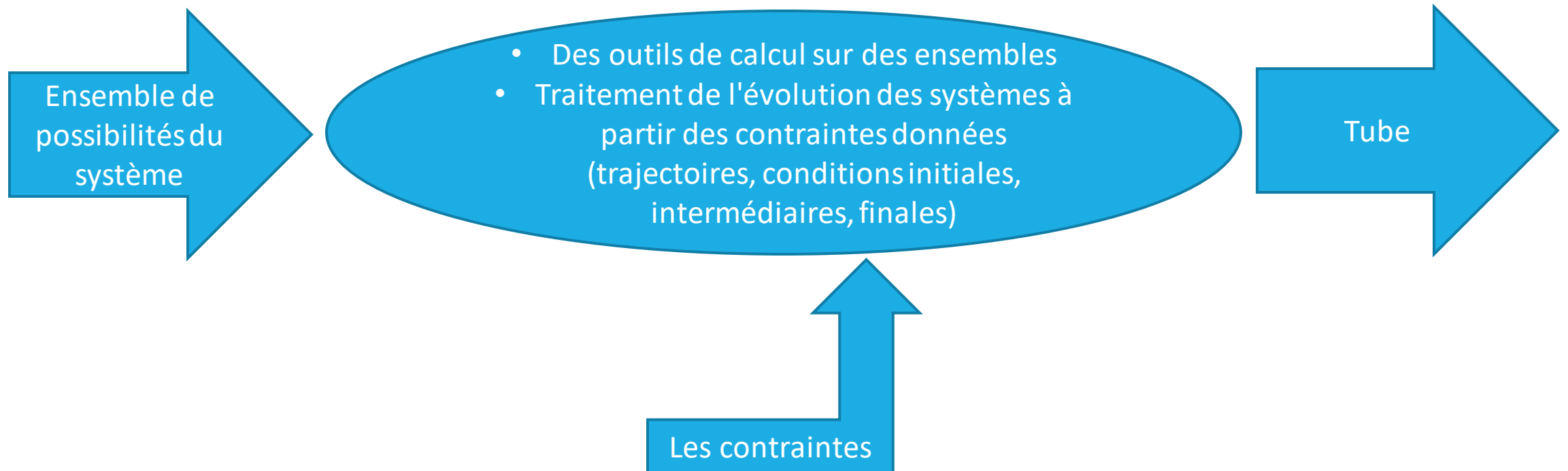
1. Trouver des cycles stables
2. Intelligence de parcours entre cycles stables
3. Stabilité des cycles par Tubex

## 4. Simulation

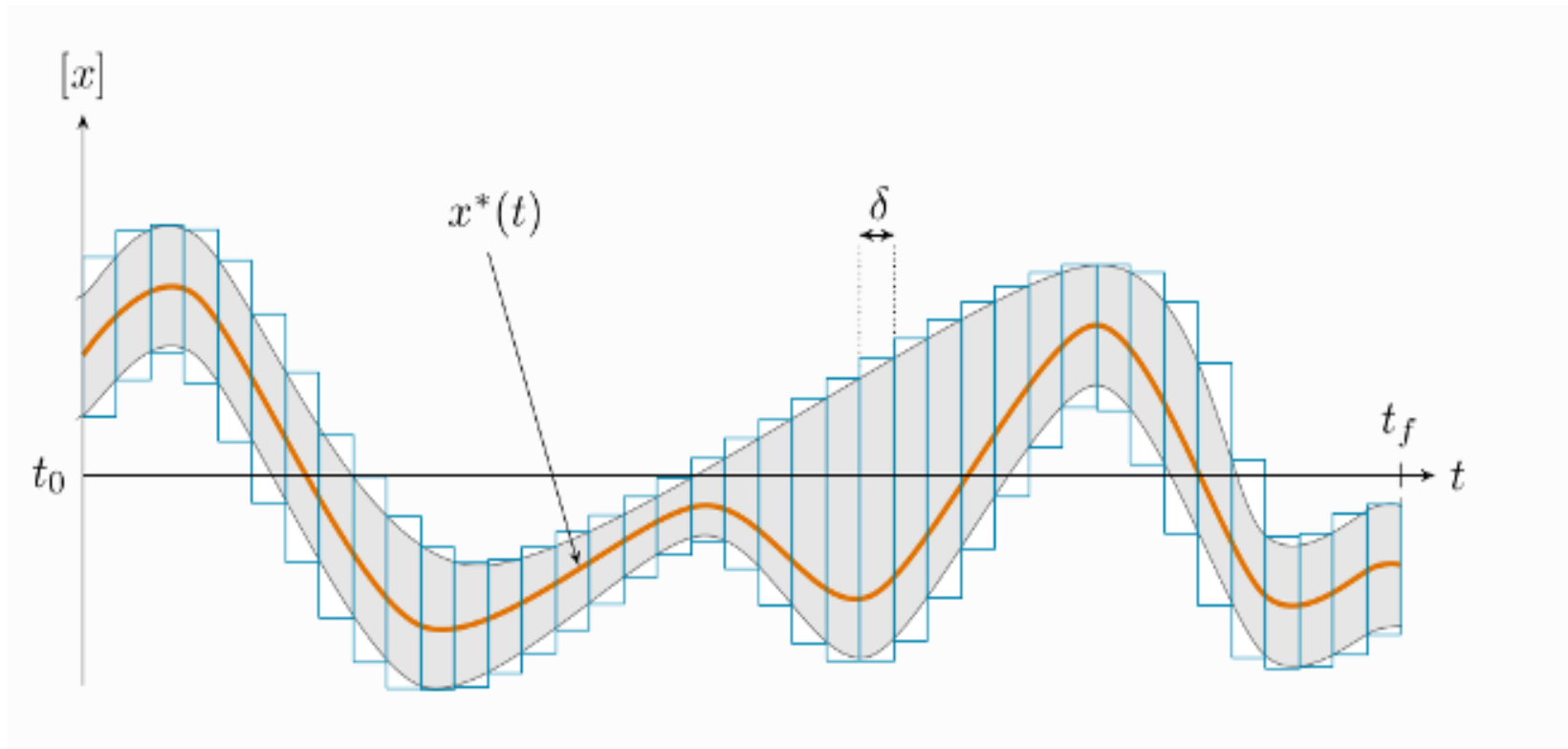
1. Simulation de la commande
2. Simulateur 3D

# Librairie Tubex

---



# Tube



# Stabilité des cycles par Tubex

---

- Définition des ensembles de départ
- Application d'un cycle L aux petites boîtes représentant l'ensemble de départ
- Vérification que le cycle passe bien par nos isobathes.
- Affichage des iso-bathes et des différents tubes représentant l'évolution de nos boîtes initiales

---



# II. Travail réalisé

---

## 1. Utilisation des AUV

1. Riptide
2. Folaga

## 2. Modélisation des AUV

1. Modèles des AUV
2. Identification des paramètres

## 3. Gestion des cycles stables

1. Trouver des cycles stables
2. Intelligence de parcours entre cycle stables
3. Stabilité des cycles par Tubex

## 4. Simulation

1. Simulation de la commande
2. Simulateur 3D

# Machine à états finis

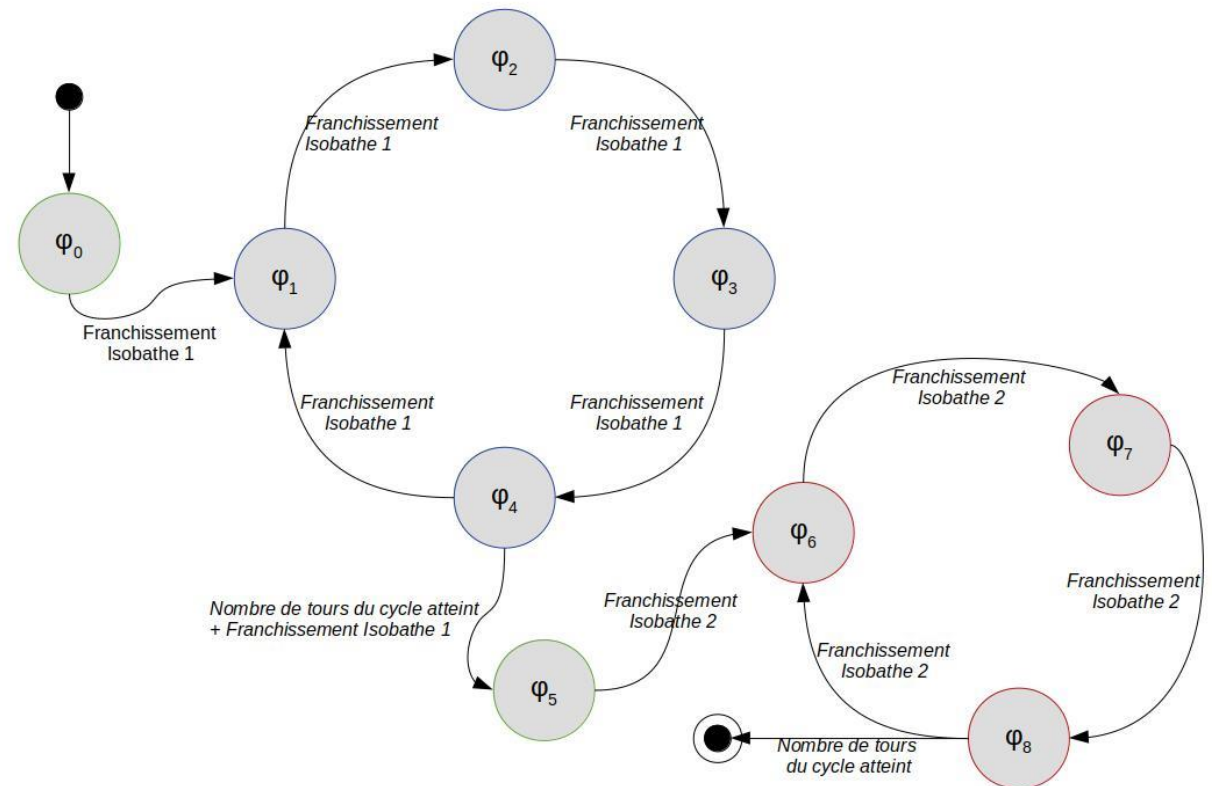
Diagramme d'états-transitions de deux cycles.

## Implémentation d'une machine à états finis dans le contrôleur :

- **Paramètres** : liste des caps des différents cycles
- **Entrée** : profondeur
- **Sortie** : cap

Définition de la **fsm** dans le code par des **transitions** (états de départ, états d'arrivée, fonctions booléennes de condition, fonctions appelées)

Travaux sur l'automatisation de la génération de l'automate.



# Contrôle en vitesse et attitude

Modèle d'évolution  
du Riptide

Mesures  $\begin{pmatrix} \varphi \\ \theta \\ \psi \end{pmatrix}, v$

Contrôle Riptide

$U = \begin{pmatrix} thruster \\ topFin \\ latFin1 \\ latFin2 \end{pmatrix}$

Modèle d'évolution  
du Folaga

Mesures  $\begin{pmatrix} \varphi \\ \theta \\ \psi \end{pmatrix}, v$

Contrôle Folaga

$U = \begin{pmatrix} v_x \\ v_z \\ \omega_z \end{pmatrix}$

Cap à suivre  
+ vitesse & profondeur

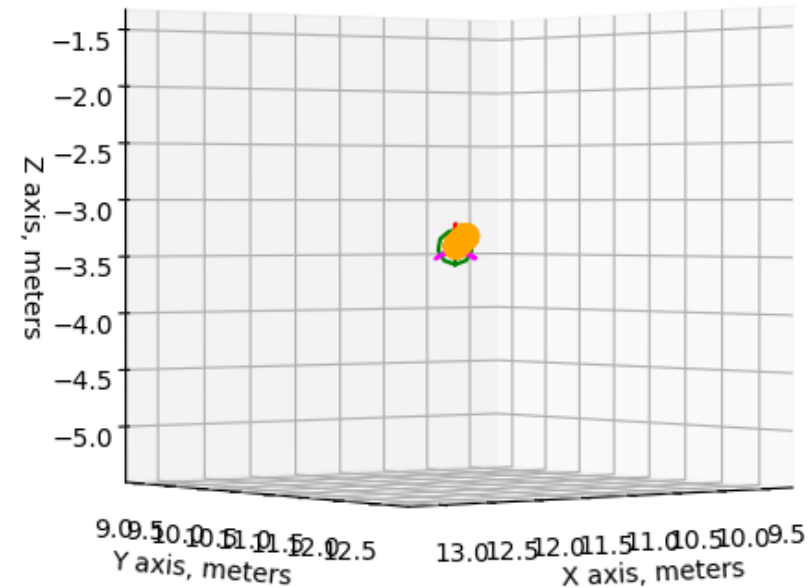
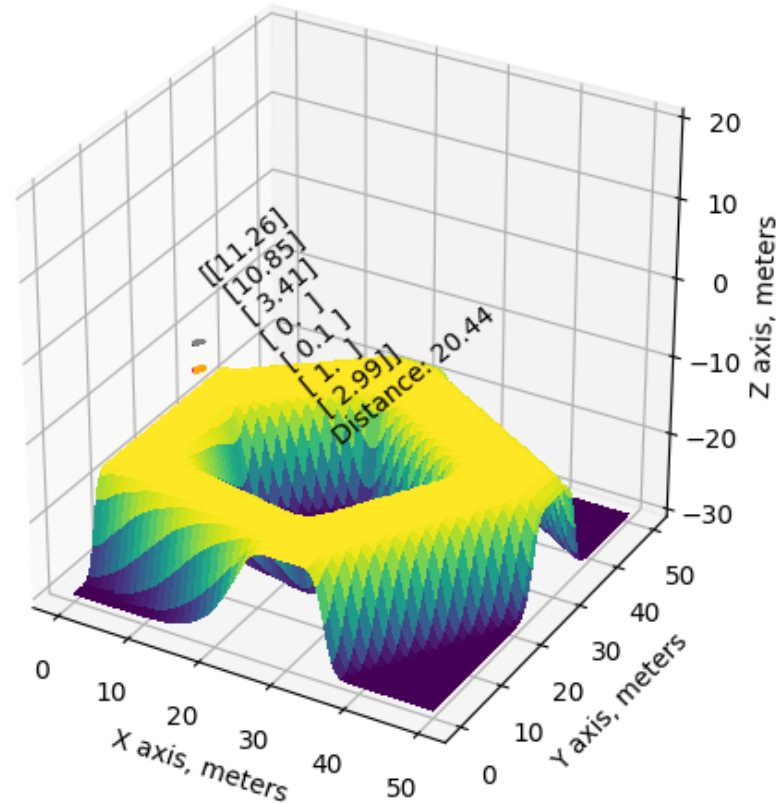
# Validation du contrôle et des estimations

$$\dot{v} = p_1 \cdot u_0^2 - p_2 \cdot v^2$$

$$\Rightarrow u_0 = \sqrt{\frac{\widehat{p}_2}{\widehat{p}_1}} \cdot v_{target}$$

$$\begin{pmatrix} \dot{\varphi} \\ \dot{\theta} \\ \dot{\psi} \end{pmatrix} = v^2 \cdot E'(\varphi, \theta, \psi) \cdot B \begin{pmatrix} u_1 \\ u_2 \\ u_3 \end{pmatrix}$$

$$\Rightarrow U = \frac{1}{\widehat{v}^2} \cdot B^{-1} \cdot \widehat{E}'^{-1} \cdot K \cdot \begin{pmatrix} \varphi_{target} - \widehat{\varphi} \\ \theta_{target} - \widehat{\theta} \\ \psi_{target} - \widehat{\psi} \end{pmatrix}$$



# II. Travail réalisé

---

## 1. Utilisation des AUV

1. Riptide
2. Folaga

## 2. Modélisation des AUV

1. Modèles des AUV
2. Identification des paramètres

## 3. Gestion des cycles stables

1. Trouver des cycles stables
2. Intelligence de parcours entre cycle stables
3. Stabilité des cycles par Tubex

## 4. Simulation

1. Simulation de la commande
2. Simulateur 3D

# Gazebo

---

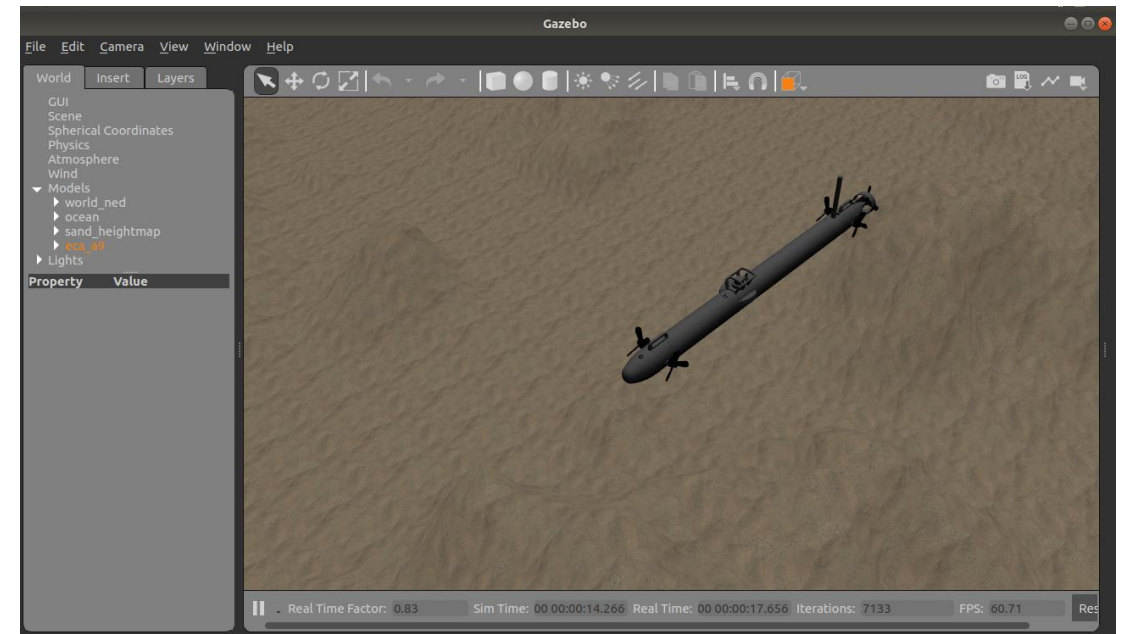
- Simulateur 3D utilisant un logiciel tier
- Fonctionne en parallèle de ROS
- Simulation réaliste de la physique
  
- Développement de ses propres robots
  - Choix de l'environnement (world)
  - Format URDF
  - Implémentation de capteurs
  - Simulation de l'environnement
- Utilisé dans plusieurs compétition



# Création de la simulation

---

1. Choisir son environnement
2. Créer son Robot
3. Implémenter les capteurs/actionneurs
  1. Choix du Plugins
  2. Définir la particularité du capteur/actionneurs
4. Implémenter la physique



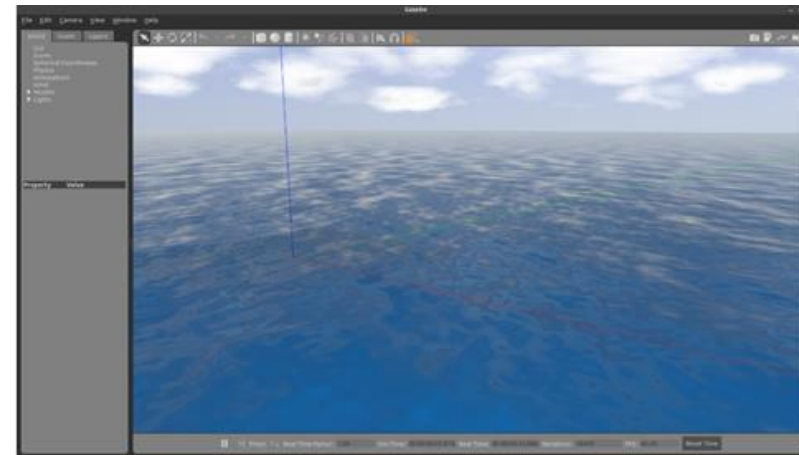
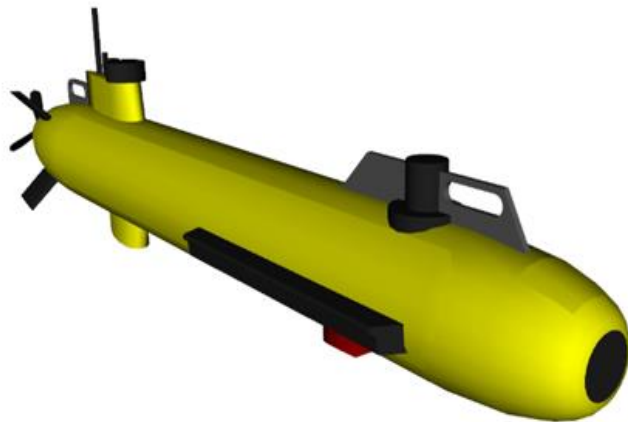
# UUV Simulator

---

**Gazebo/ROS** : Simulation propulseur et ailette, modèle hydrodynamique

**Gazebo worlds** : Océan, lac etc ...

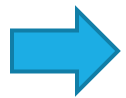
**Modèles existants** : AUV (eca\_a9), ROV.



# Modèle hydrodynamique

---

- Equations de Fossen
- Matrice de masse ajoutée
- Matrice Linear Damping pour simuler les frottements
- Poussée d'Archimède



Comportement du Folaga cohérent

# III. Expérimentation

---

## 1. Préparation de la mission

- a. Lieu et Date
- b. Préparation logicielle
- c. Cycles stables

## 2. Exécution de la mission

- a. Manipulations préliminaires
- b. Réalisation des cycles stables

## 3. Résultats

# III. Expérimentation

## 1. Préparation de la mission

---

### a. Lieu et date

- **Penfeld** : pas de MNT 
- **Ty Colo**: MNT 

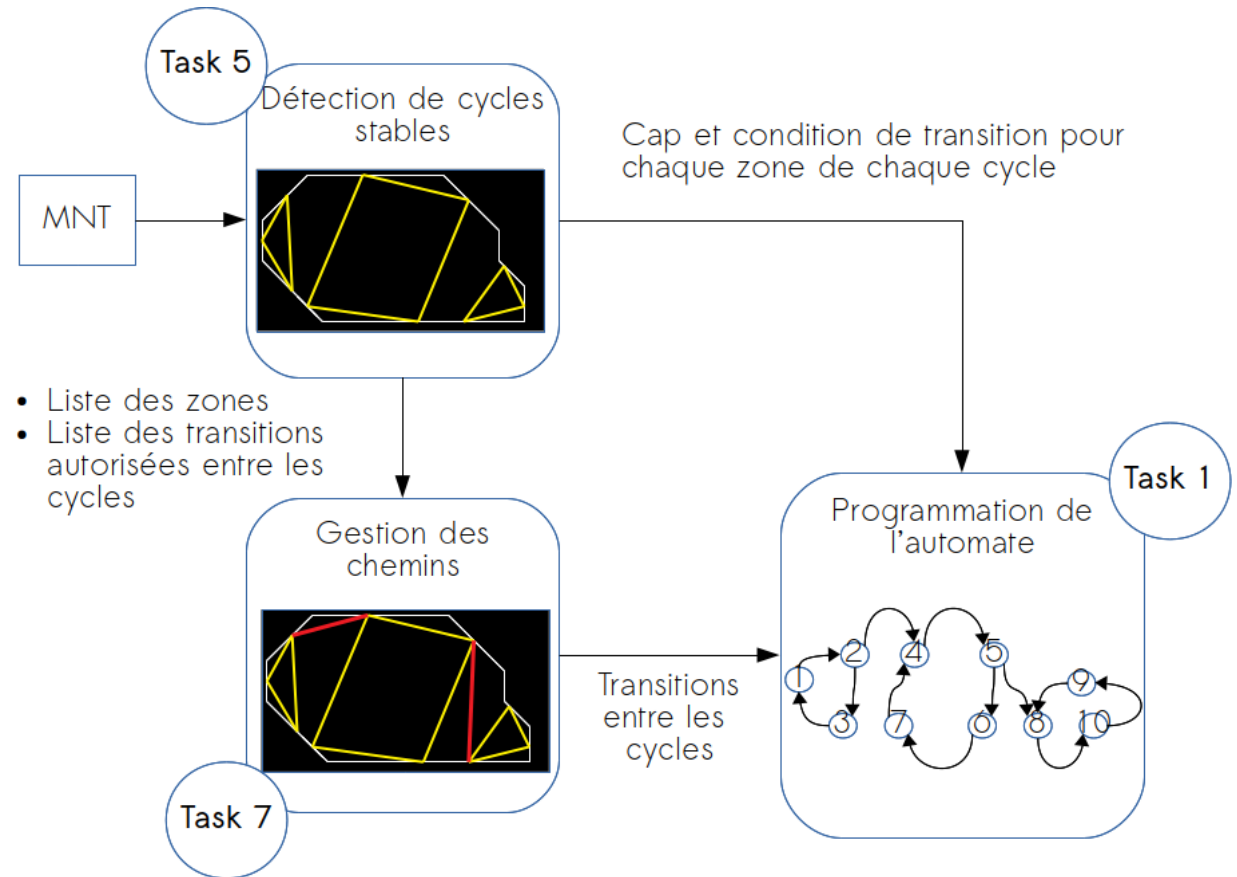
Date: Lundi 24 Février 2020

# III. Expérimentation

## 1. Préparation de la mission

### b. Préparation logicielle

- Diffusion de l'information doublée
- Programmation de l'automate nécessite du temps

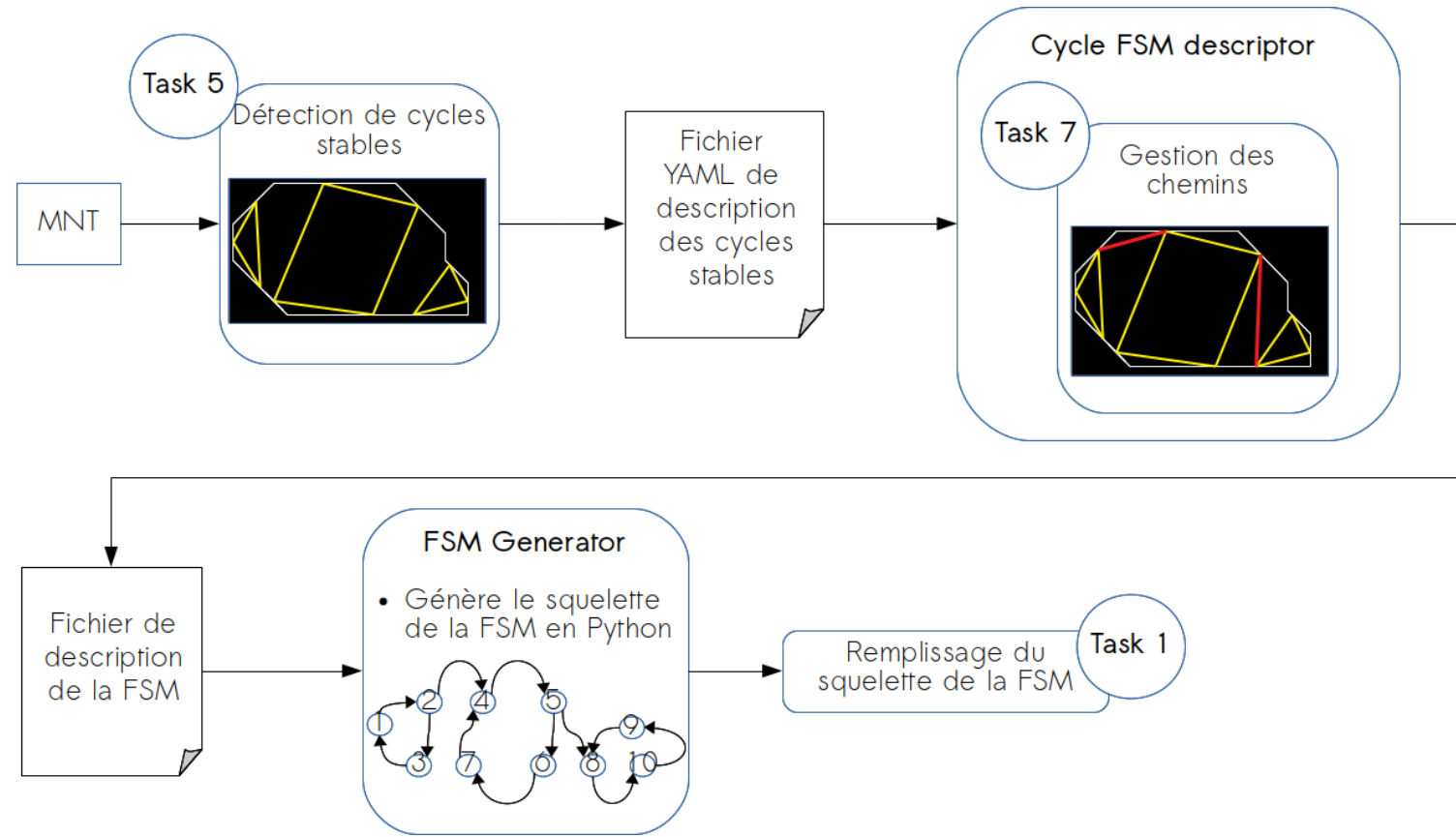


# III. Expérimentation

## 1. Préparation de la mission

### b. Préparation logicielle

- Normalisation des informations diffusées
- Automatisation partielle de la programmation de l'automate



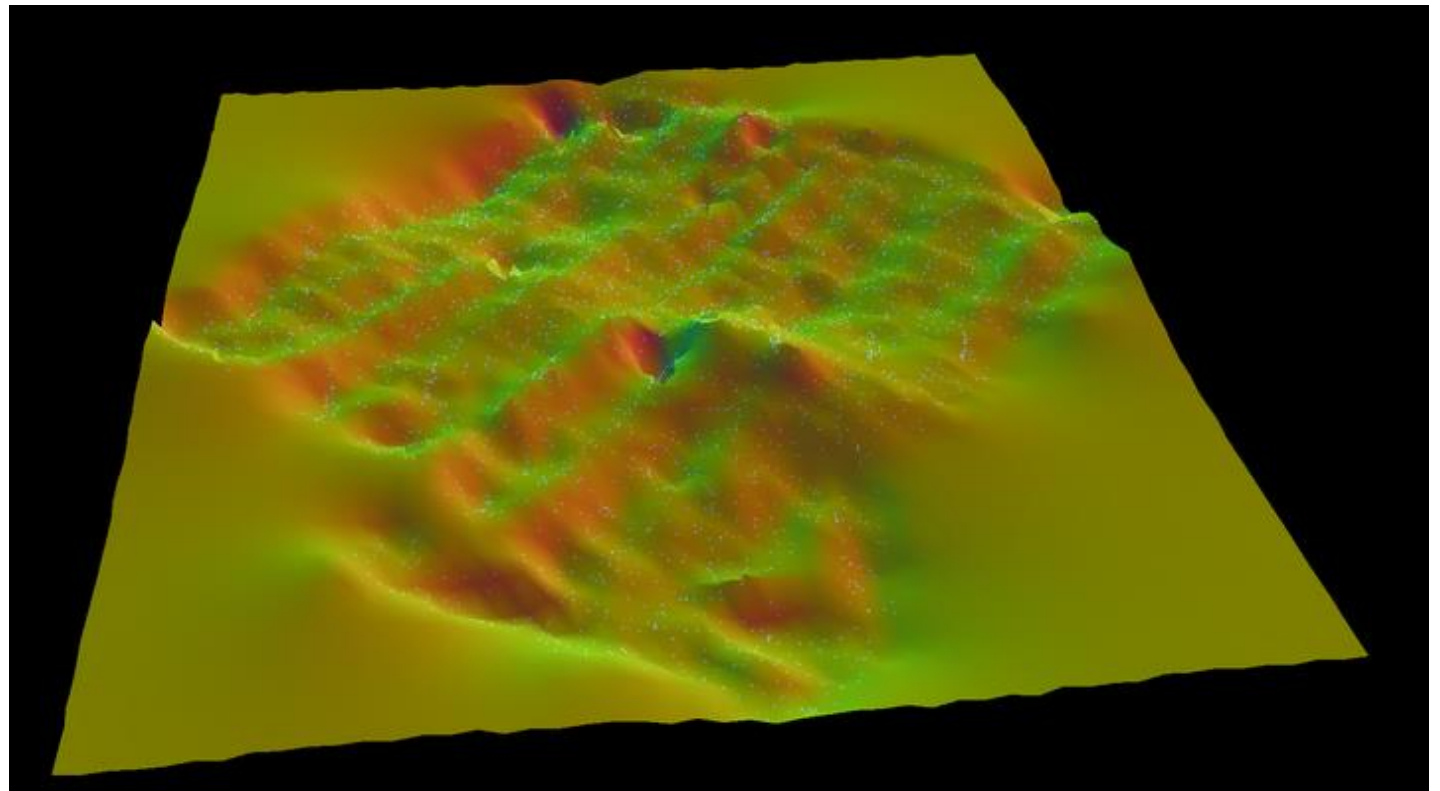
# III. Expérimentation

## 1. Préparation de la mission

---

### c. Cycles stables

- MNT non exploitable



# III. Expérimentation

## 1. Préparation de la mission

### c. Cycles stables

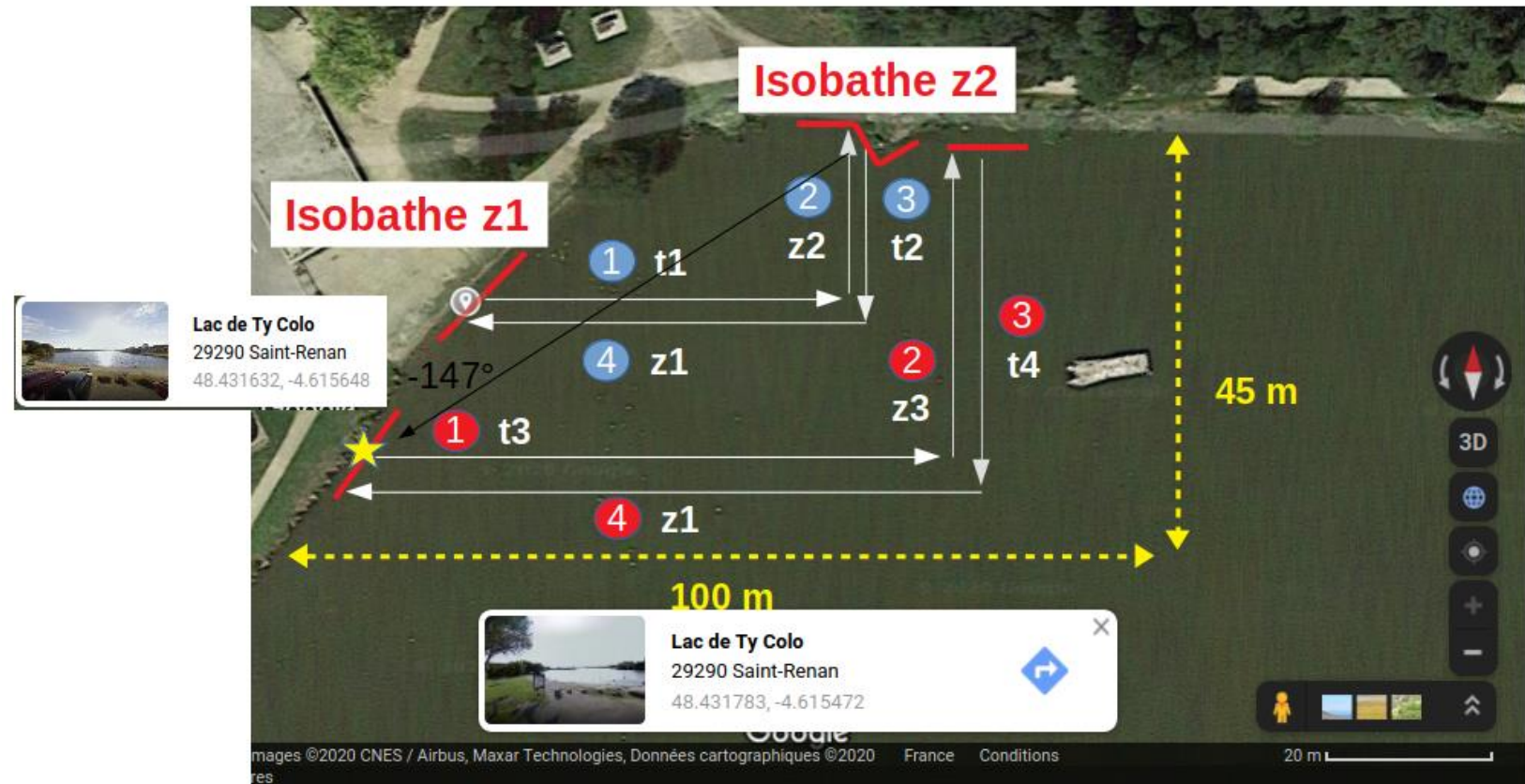
- Choix de cycles en "L"
- Stabilité prouvée par Tubex



# III. Expérimentation

## 1. Préparation de la mission

### c. Cycles stables



# III. Expérimentation

## 1. Préparation de la mission

### c. Machine à états

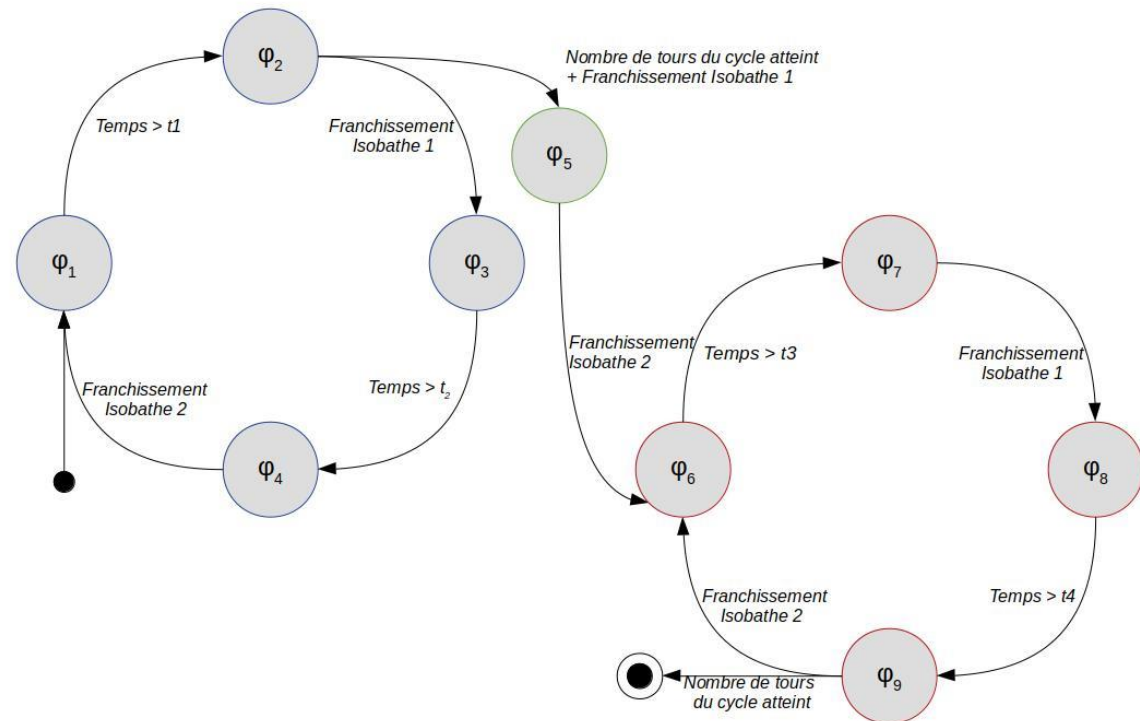
Conditions de transition sur les caps :

- Franchissement des isobathes
- Dépassement temporel

Conditions de transition sur les cycles :

- Nombre de tours de cycle

Diagramme d'états-transitions des deux cycles en "L"



# III. Expérimentation

---

## 1. Préparation de la mission

- a. Lieu et Date
- b. Préparation logicielle
- c. Cycles stables

## 2. Exécution de la mission

- a. Manipulations préliminaires
- b. Réalisation des cycles stables

## 3. Résultats

# III. Expérimentation

## 2. Exécution de la mission

---

### a. Manipulations préliminaires

#### **Riptide**

- **But** : tester API constructeur
- Suivi de cap aller-retour effectué
- Pas d'immersion réalisée

#### **Folaga :**

- **But** : préparer les cycles en L
- Mesure des profondeurs
- Réglage de l'offset du cap

# III. Expérimentation

## 2. Exécution de la mission

---

### b. Réalisation des cycles stables

- 2 fois 6 petits "L"
- 2 petits "L" + 2 grands "L"  
+ transition



# III. Expérimentation

---

## 1. Préparation de la mission

- a. Lieu et Date
- b. Préparation logicielle
- c. Cycles stables

## 2. Exécution de la mission

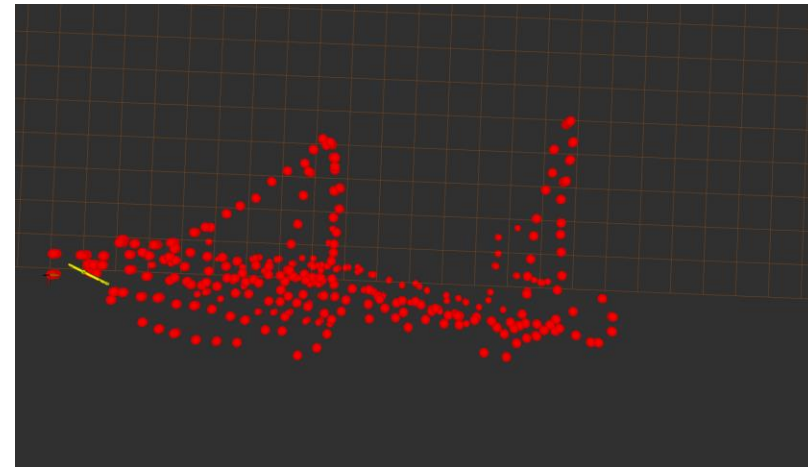
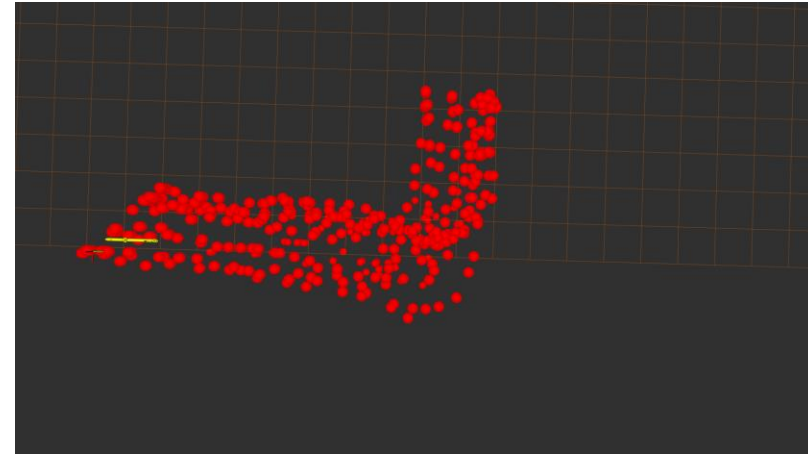
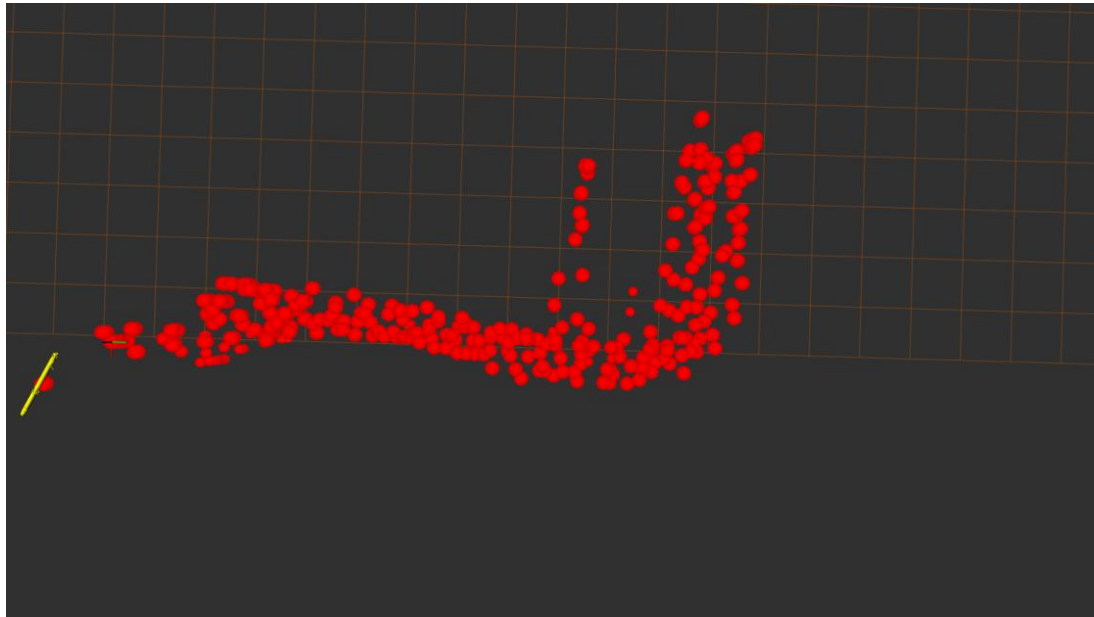
- a. Manipulations préliminaires
- b. Réalisation des cycles stables

## 3. Résultats

# III. Expérimentation

## 3. Résultats

---



# III. Expérimentation

## 3. Résultats

---

- Utilisation des données pour estimation des paramètres
- Utilisation des données pour tester le simulateur 3D

# Conclusion

---

# Conclusion

---



Travail de groupe réussi:

- Cohérence entre les différentes tâches
- Bonne organisation et gestion des imprévus



Cycles stables : preuve de concept validée



Mais non expérimenté à partir d'un MNT



Riptide : prise en main partielle

Evolutions et améliorations possibles dans les travaux effectués